

El centro de la tierra en un laboratorio: Aplicaciones de las técnicas de altas presiones

Daniel Errandonea

¿Cómo es el interior de los planetas?



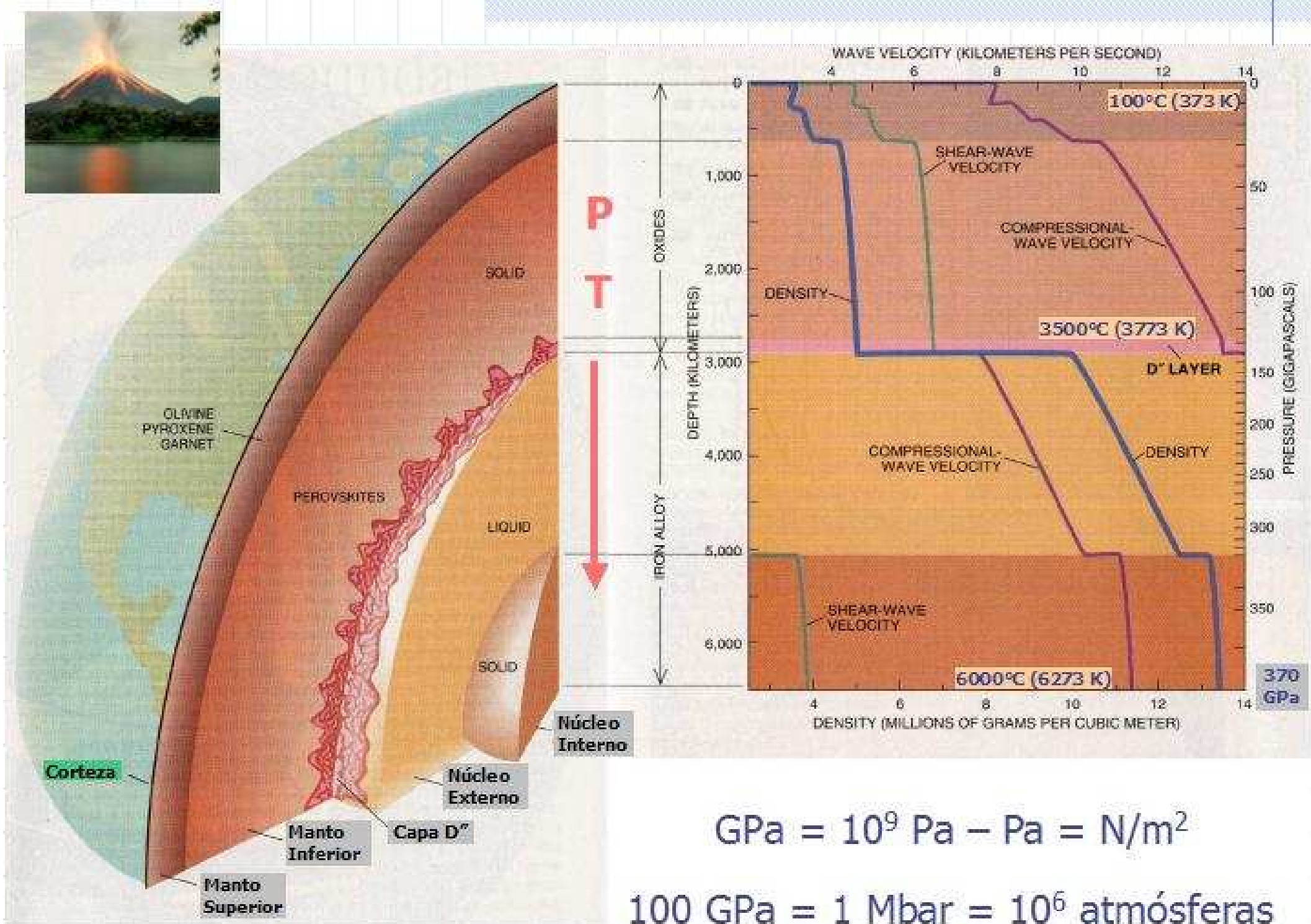
Respuesta: Preguntémosle al propio planeta



En la práctica es muchas veces imposible



Deducciones: datos existentes (campo magnético terrestre, ondas sísmicas) + experimentos en laboratorios.



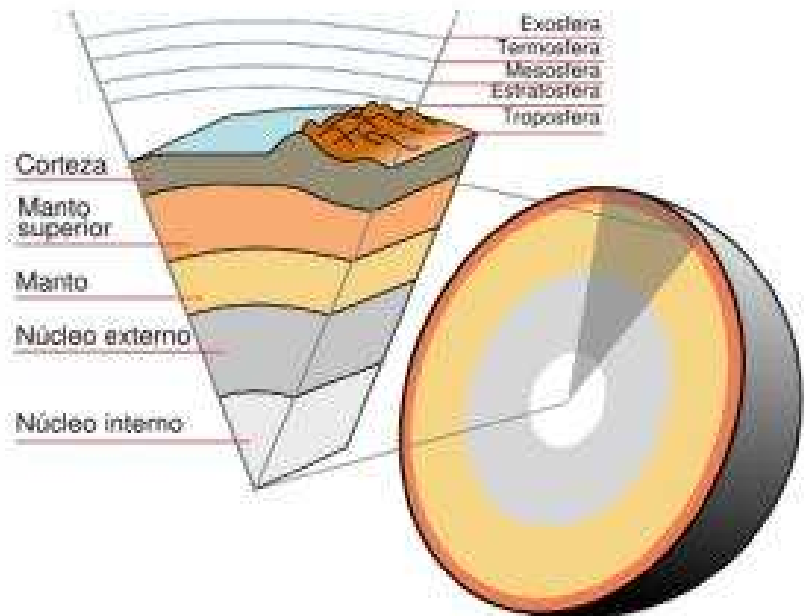
$$\text{GPa} = 10^9 \text{ Pa} - \text{Pa} = \text{N/m}^2$$

$$100 \text{ GPa} = 1 \text{ Mbar} = 10^6 \text{ atmósferas}$$

Corteza continental/oceánica: 0.37% masa de la Tierra.

Profundidad: 0-10 km

Rocas cristalinas: cuarzo (SiO_2)

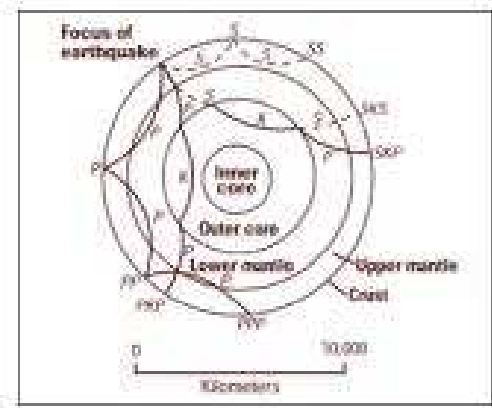


Manto superior: 17.8% masa de la Tierra.

Profundidad: 10-650 km ($P < 25 \text{ GPa}$)

Principal mineral: Olivino $(\text{Mg},\text{Fe})_2\text{SiO}_4$

Datos geofísicos, geológicos y petrológicos



Manto inferior: 49.2% masa de la Tierra.

Profundidad: 650-2890 km ($25 \text{ GPa} < P < 135 \text{ GPa}$)

Minerales que contienen: Si, Mg, O, Fe, Ca y Al. Perovskita $(\text{Mg},\text{Fe})\text{SiO}_3$

Sismología. Composición del Sistema Solar y meteoritos primitivos.

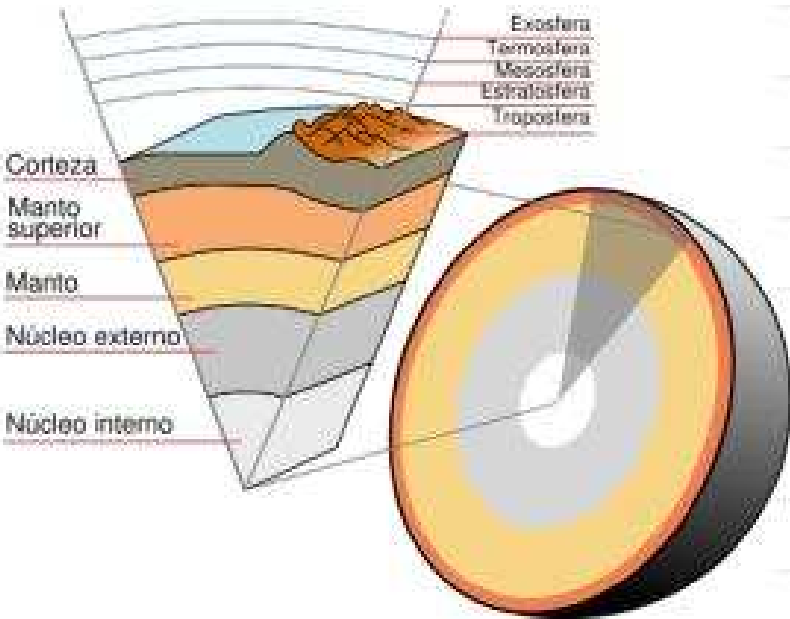
Capa D": 0.13% masa de la Tierra.

Profundidad: 2700-2890 km

($135 \text{ GPa} < P < 140 \text{ GPa}$)

Discontinuidades sismicas → capa D"

¿Composición química diferente de la del manto inferior? ¿Post-perovskita?

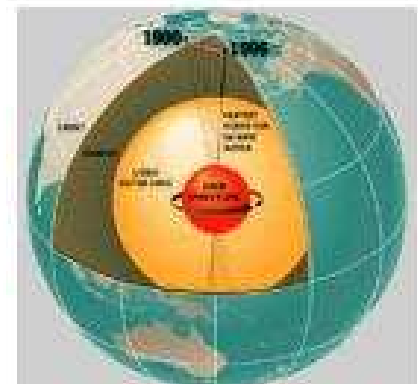


Núcleo externo: 30.8% masa de la Tierra.

Profundidad: 2890-5150 km ($140 \text{ GPa} < P < 330 \text{ GPa}$)

Hierro fundido + pequeñas cantidades de elementos más ligeros.

¿10% está compuesto por oxígeno y/o azufre?

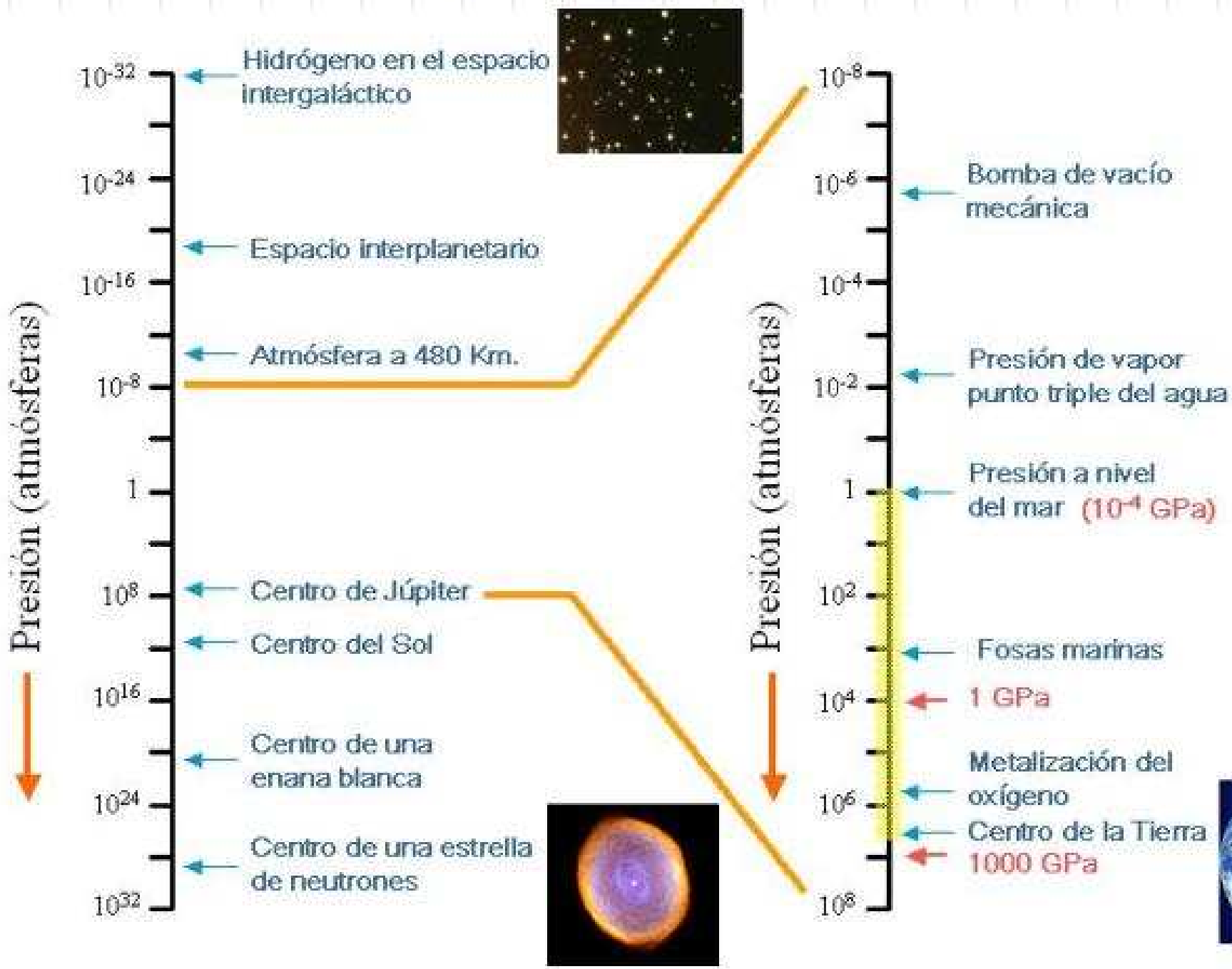


Núcleo interno: 1.7% masa de la Tierra.

Profundidad: 5150-6370 km ($330 \text{ GPa} < P < 370 \text{ GPa}$)

Sólido suspendido en el núcleo externo. ¿Congelamiento por presión?

Para conocer y entender mejor el interior
de la Tierra y de otros planetas
necesitamos recrear en el laboratorio
condiciones extremas de presión y
temperatura



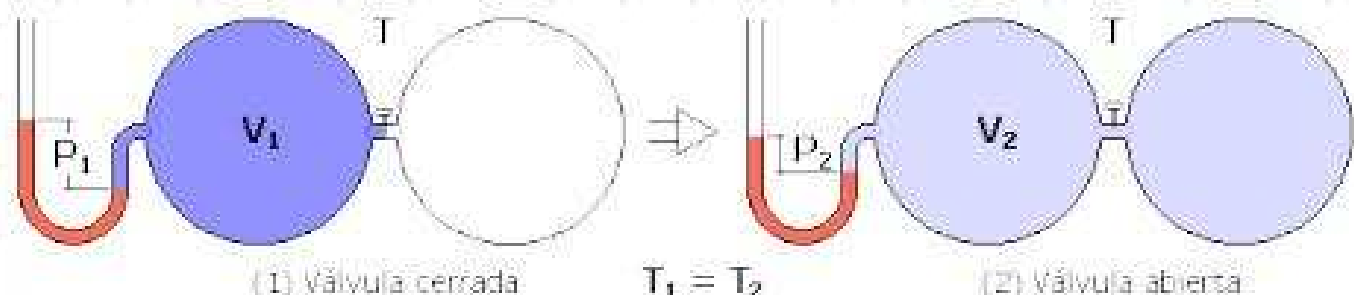
Ciencias Físicas usaron hasta hace pocos años 2 de sus 3 herramientas fundamentales: T y Composición Química.

P es en muchos aspectos la más importante: ocupa un rango de 64 órdenes de magnitud.



Efectos de la presión en los gases

Leyes de los gases ideales: $P \times V = \text{cte}$

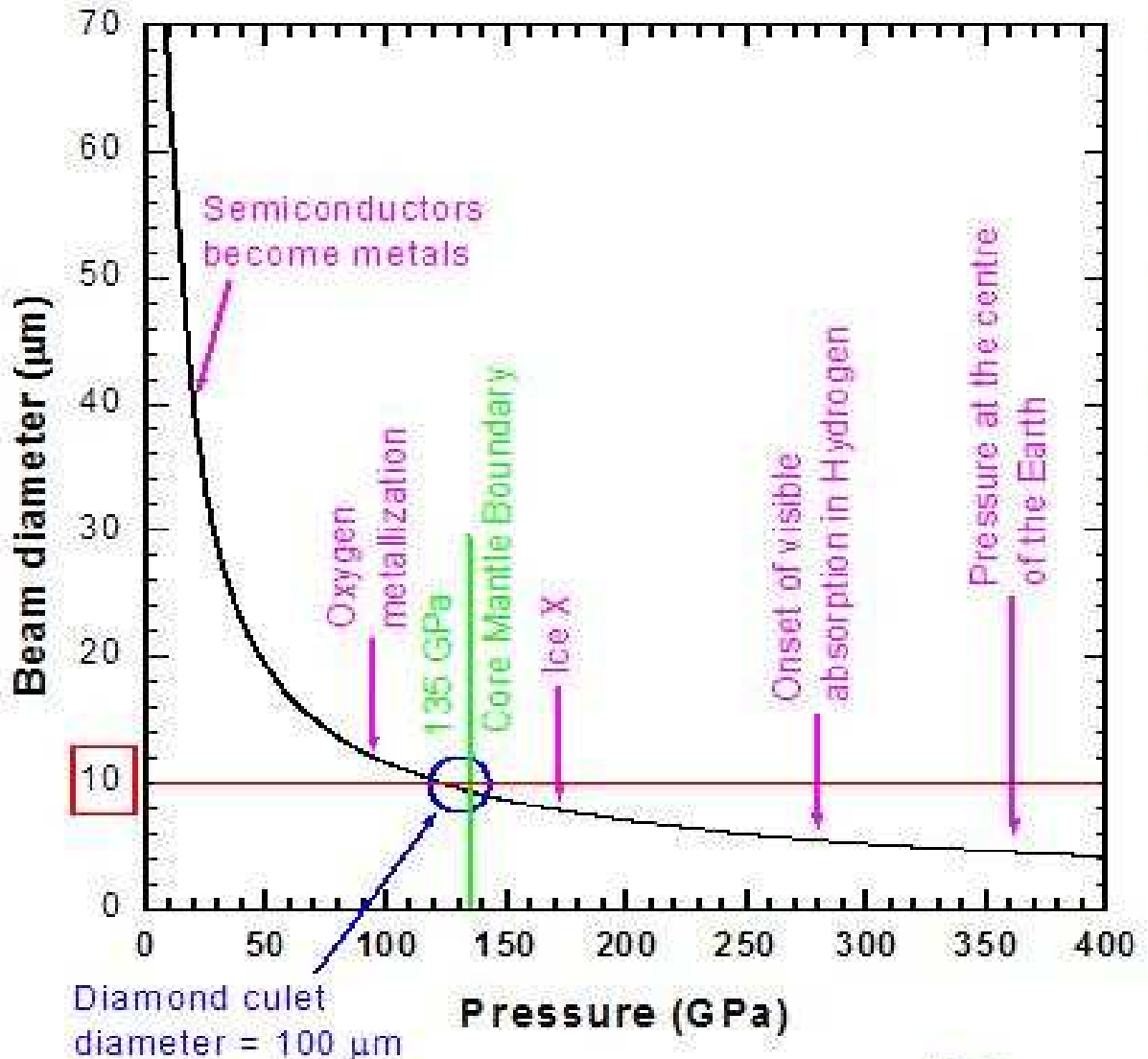


Robert Boyle
1627 - 1691

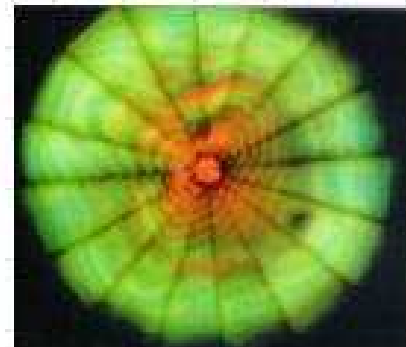
... perhaps the pressure of the air might have an interest in more phaenomena than men have hitherto thought."

*Touching the Spring of the Air,
New Experiments in Physics and Mechanics, XLIII 1660*

¿Por que las altas presiones son importantes?

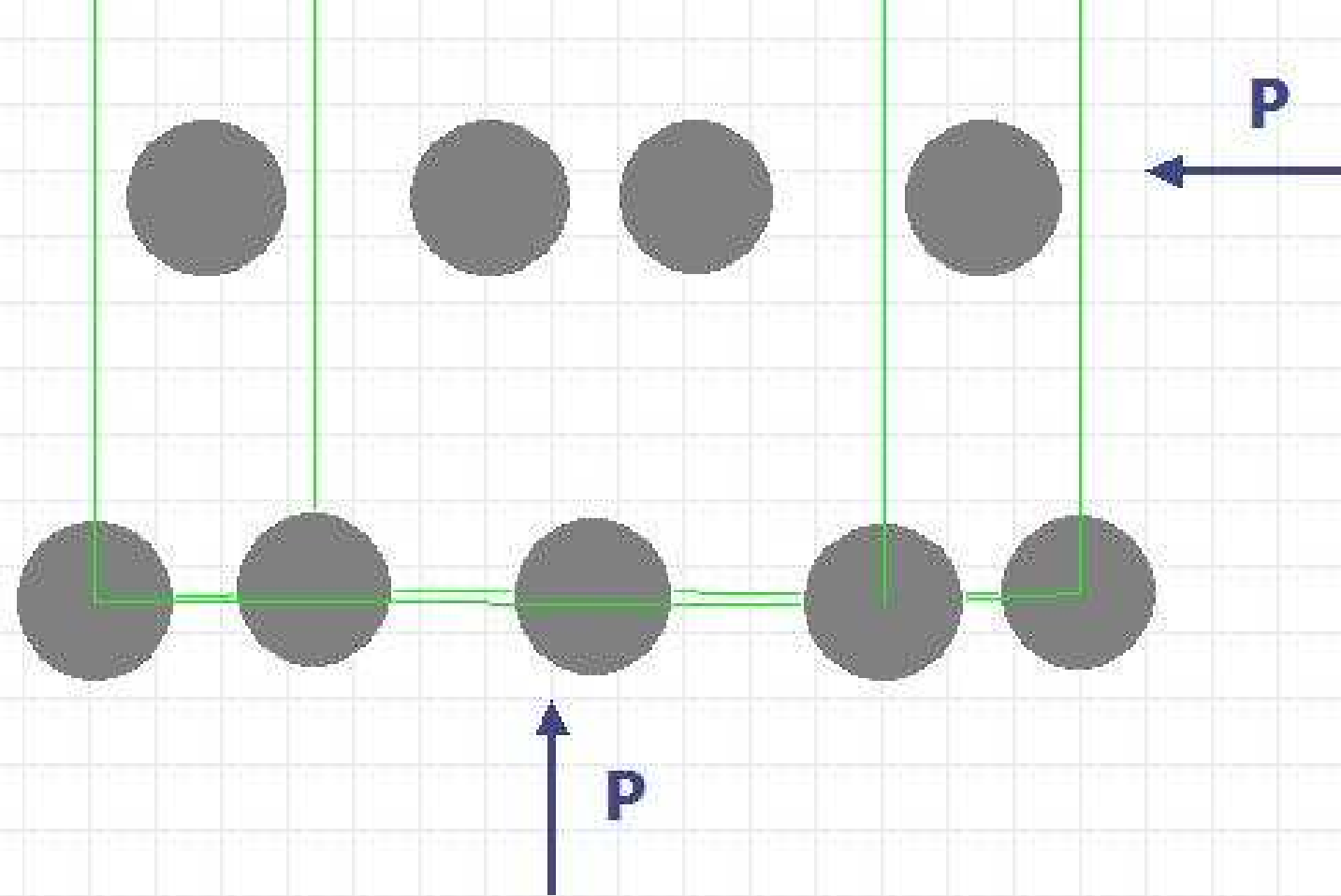
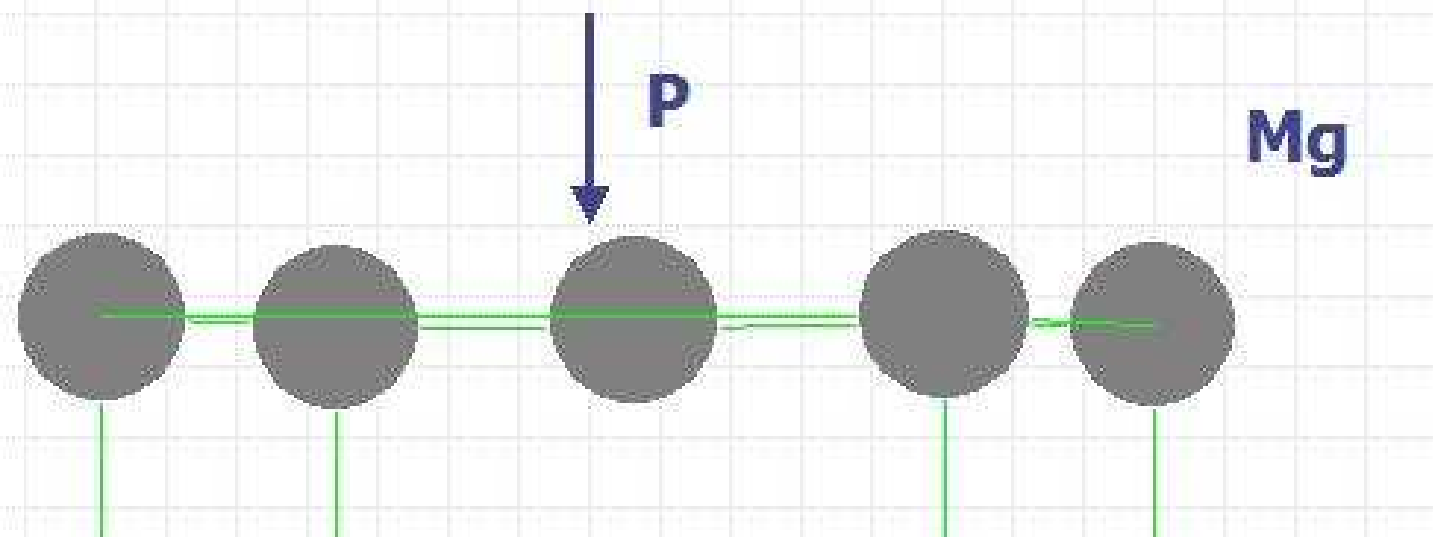
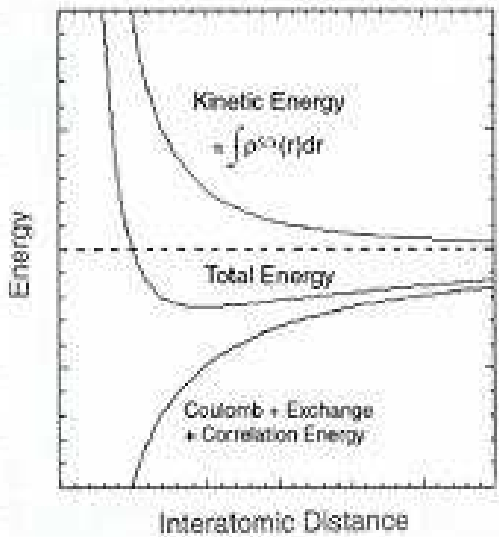


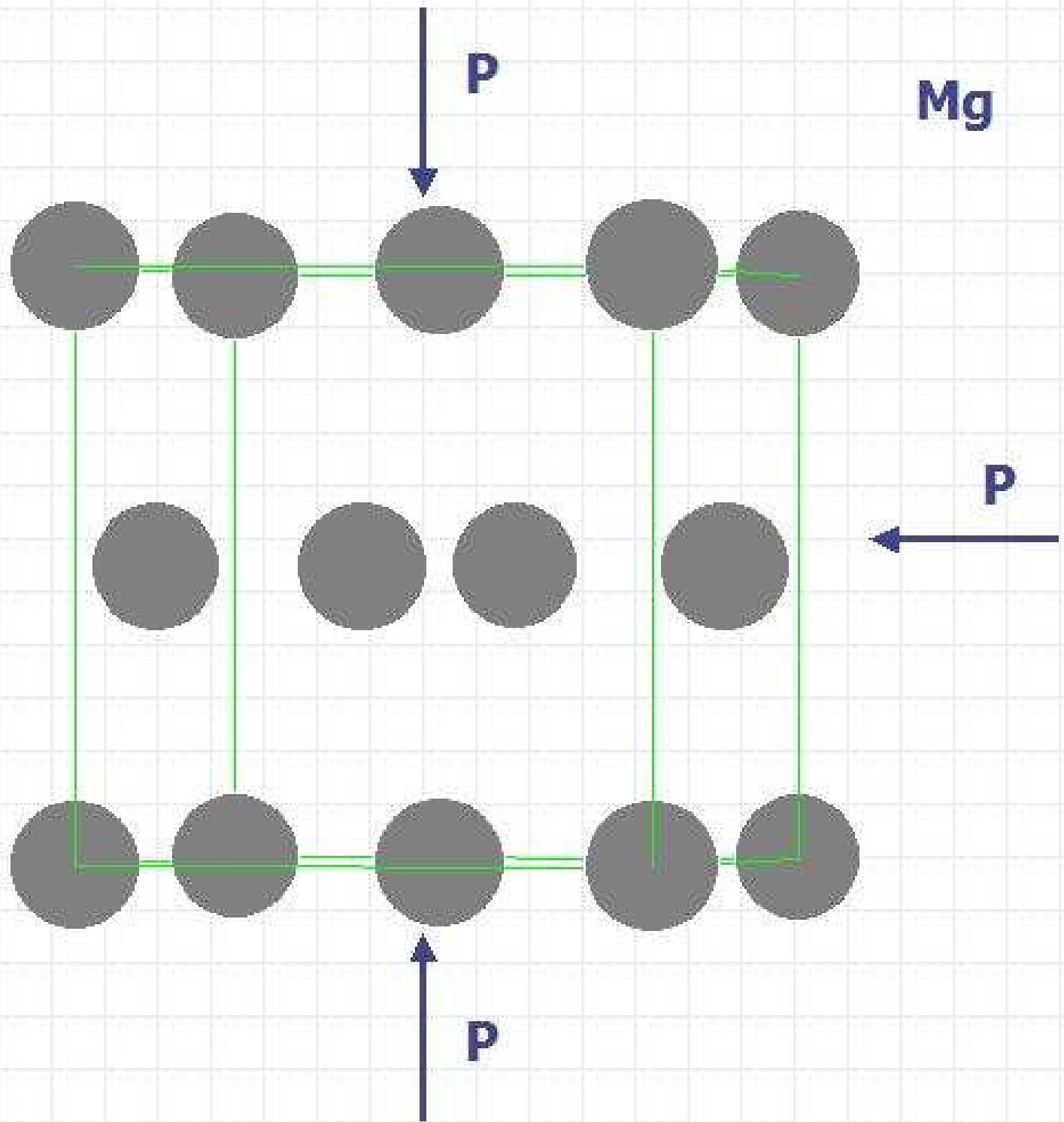
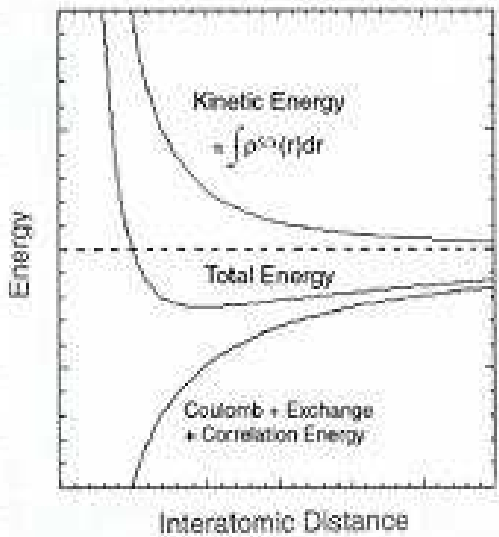
Aplicando presión: reducimos las distancias interatómicas modificando las fuerzas de interacción entre los átomos. Cambian las propiedades de los materiales.

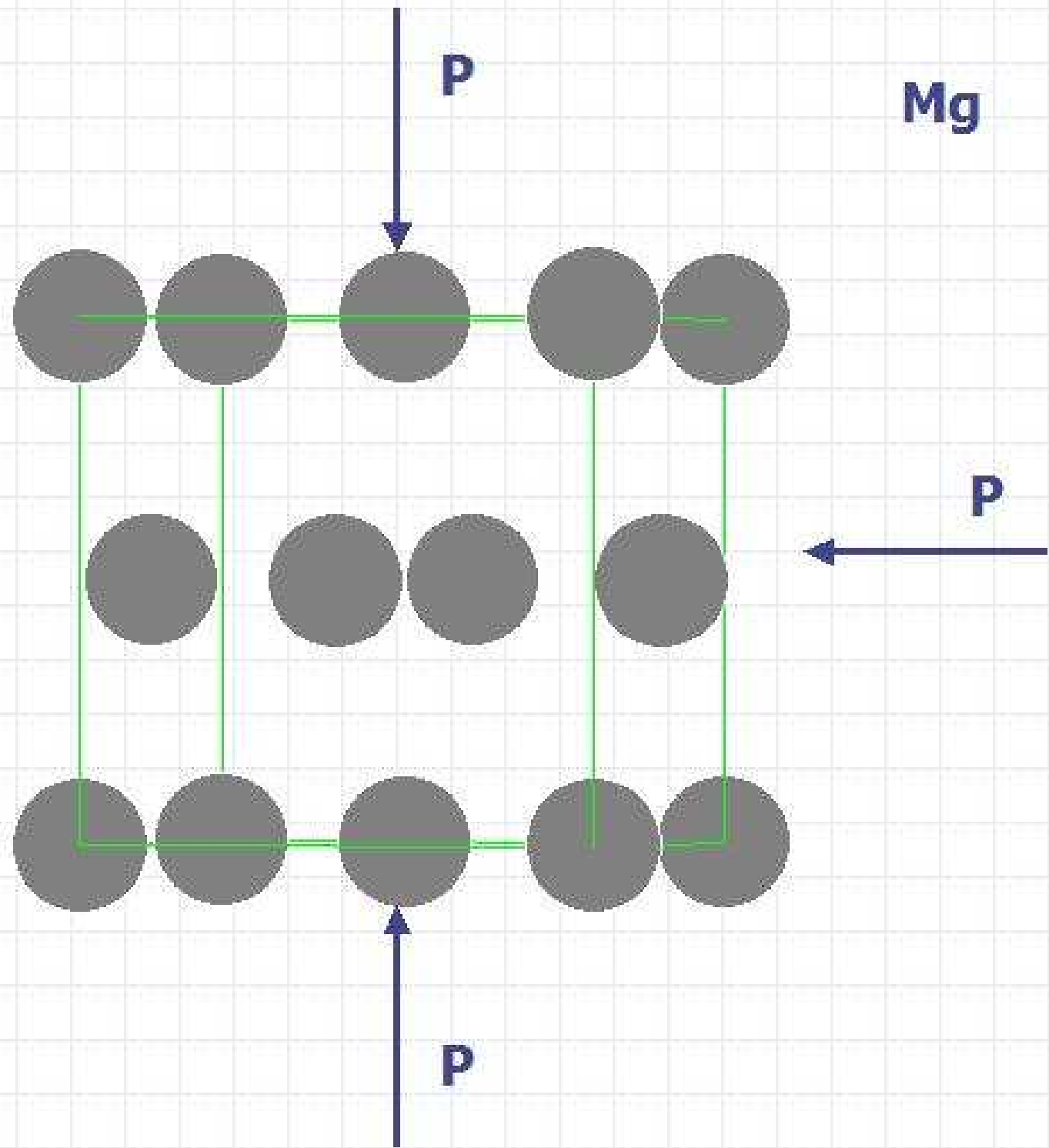
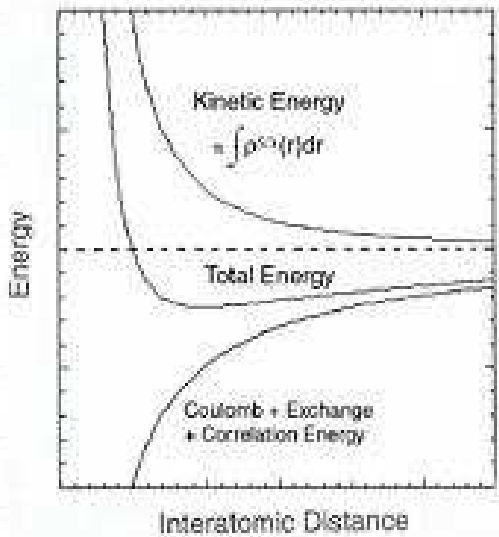


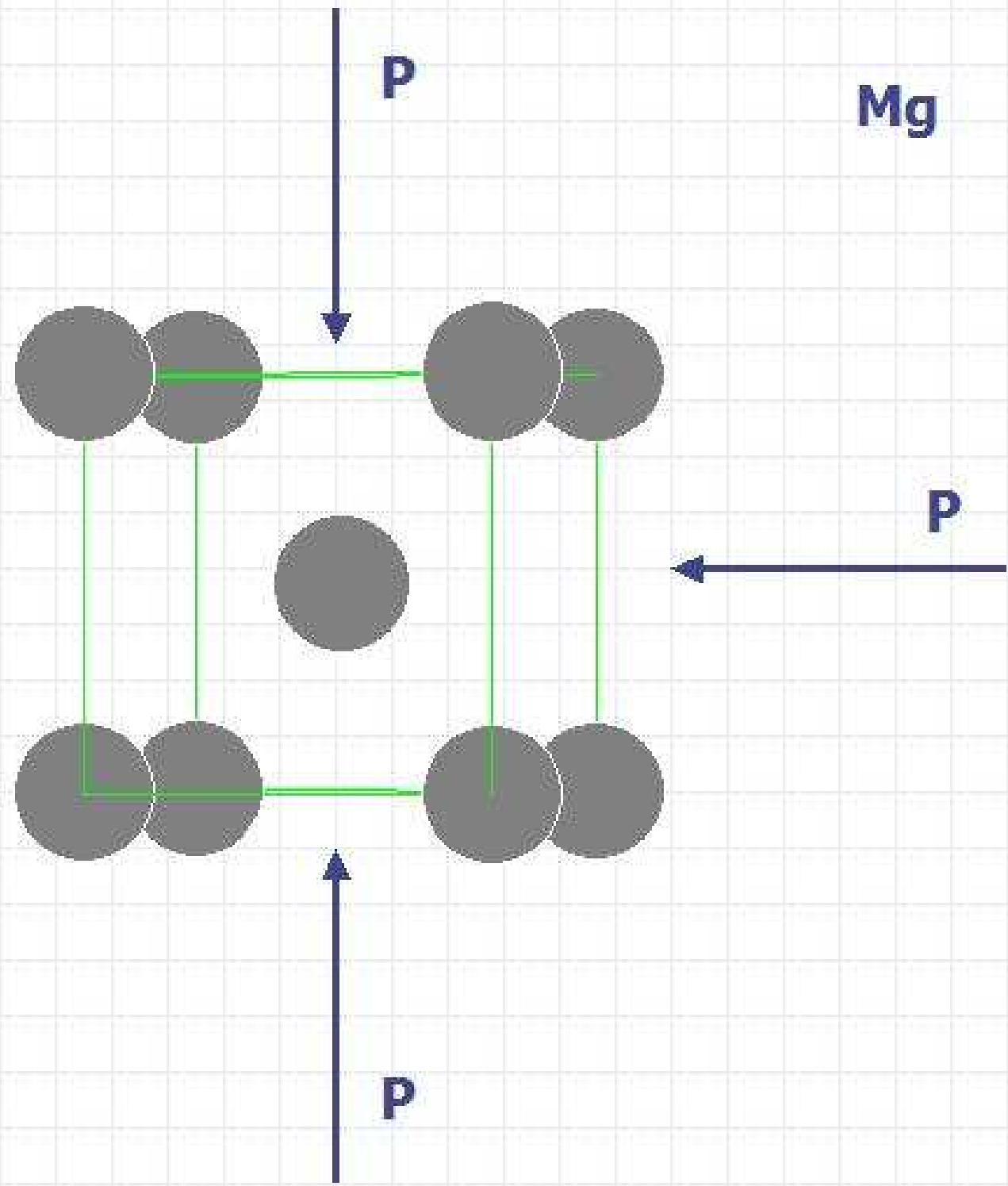
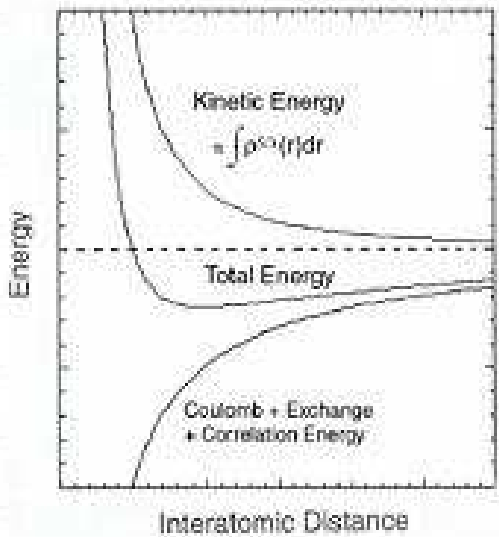
H_2 230 GPa

hidrógeno: gas \rightarrow líquido \rightarrow sólido "blando"
 \rightarrow sólido "duro" (aislante) \rightarrow metal...

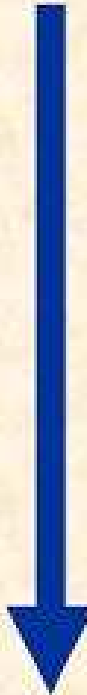








PRESSURE



Periodic Table of the Elements

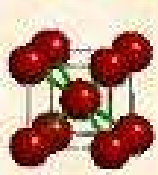
PRESSURE



1 1A H 1.008	2 2A Li 6.941	Transition metals										13 3A Al 26.98	14 4A Si 28.09	15 5A P 30.97	16 6A S 32.07	17 7A Cl 35.45	18 8A Ar 39.95		
3 3A B 6.912	4 4A Be 9.012	5 5A C 10.81	6 6A N 12.01	7 7A O 14.01	8 8A F 16.00	9 9A Ne 19.00	10 10A Ne 20.18												
11 11A Na 22.99	12 12A Mg 24.31	3 3A Sc 44.96	4 4A Ti 47.88	5 5A V 50.94	6 6A Cr 52.00	7 7A Mn 54.94	8 8A Fe 55.85	9 9A Co 58.93	10 10A Ni 58.69	11 11A Cu 63.55	12 12A Zn 65.38	13 13A Ga 69.72	14 14A Ge 72.59	15 15A As 74.92	16 16A Se 78.96	17 17A Br 79.90	18 18A Kr 83.80		
19 19A K 39.10	20 20A Ca 40.08	21 21A Sc 44.96	22 22A Ti 47.88	23 23A V 50.94	24 24A Cr 52.00	25 25A Mn 54.94	26 26A Fe 55.85	27 27A Co 58.93	28 28A Ni 58.69	29 29A Cu 63.55	30 30A Zn 65.38	31 31A Ga 69.72	32 32A Ge 72.59	33 33A As 74.92	34 34A Se 78.96	35 35A Br 79.90	36 36A Kr 83.80		
37 37A Rb 85.47	38 38A Sr 87.62	39 39A Y 88.91	40 40A Zr 91.22	41 41A Nb 92.91	42 42A Mo 95.94	43 43A Tc (98)	44 44A Ru 101.1	45 45A Rh 102.9	46 46A Pd 106.4	47 47A Ag 107.9	48 48A Cd 112.4	49 49A In 114.8	50 50A Sn 118.7	51 51A Sb 121.8	52 52A Te 127.6	53 53A I (126.9)	54 54A Xe (131.3)		
55 55A Cs 132.9	56 56A Ba 137.3	57 57A La 138.9	58 58A Hf 178.5	59 59A Ta 180.9	60 60A W 183.9	61 61A Re 186.2	62 62A Os 190.2	63 63A Ir 192.2	64 64A Pt 195.1	65 65A Au 197.0	66 66A Hg 200.6	67 67A Tl 204.4	68 68A Pb 207.2	69 69A Bi 209.0	70 70A Po (209)	71 71A At (210)	72 72A Rn (222)		
83 83A Fr (223)	84 84A Ra 226	85 85A Ac (227)	86 86A Unq Unp	87 87A Unp Unh	88 88A Uns Uno	89 89A Uno Une	90 90A Unh (231)	91 91A Pa (232)	92 92A U (237)	93 93A Np (244)	94 94A Pu (243)	95 95A Am (247)	96 96A Cm (247)	97 97A Bk (251)	98 98A Cf (252)	99 99A Es (257)	100 100A Fm (258)	101 101A Md (259)	102 102A No (260)

58 Ce 140.1	59 Pr 140.9	60 Nd 144.2	61 Pm (145)	62 Sm 150.4	63 Eu 152.0	64 Gd 157.3	65 Tb 158.9	66 Dy 162.5	67 Ho 164.9	68 Er 167.3	69 Tm 168.9	70 Yb 173.0	71 Lu 175.0
90 Tb 232.0	91 Pa (231)	92 U (232)	93 Np (237)	94 Pu (244)	95 Am (243)	96 Cm (247)	97 Bk (247)	98 Cf (251)	99 Es (252)	100 Fm (257)	101 Md (258)	102 No (259)	103 Lr (260)

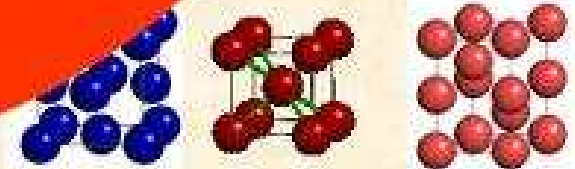
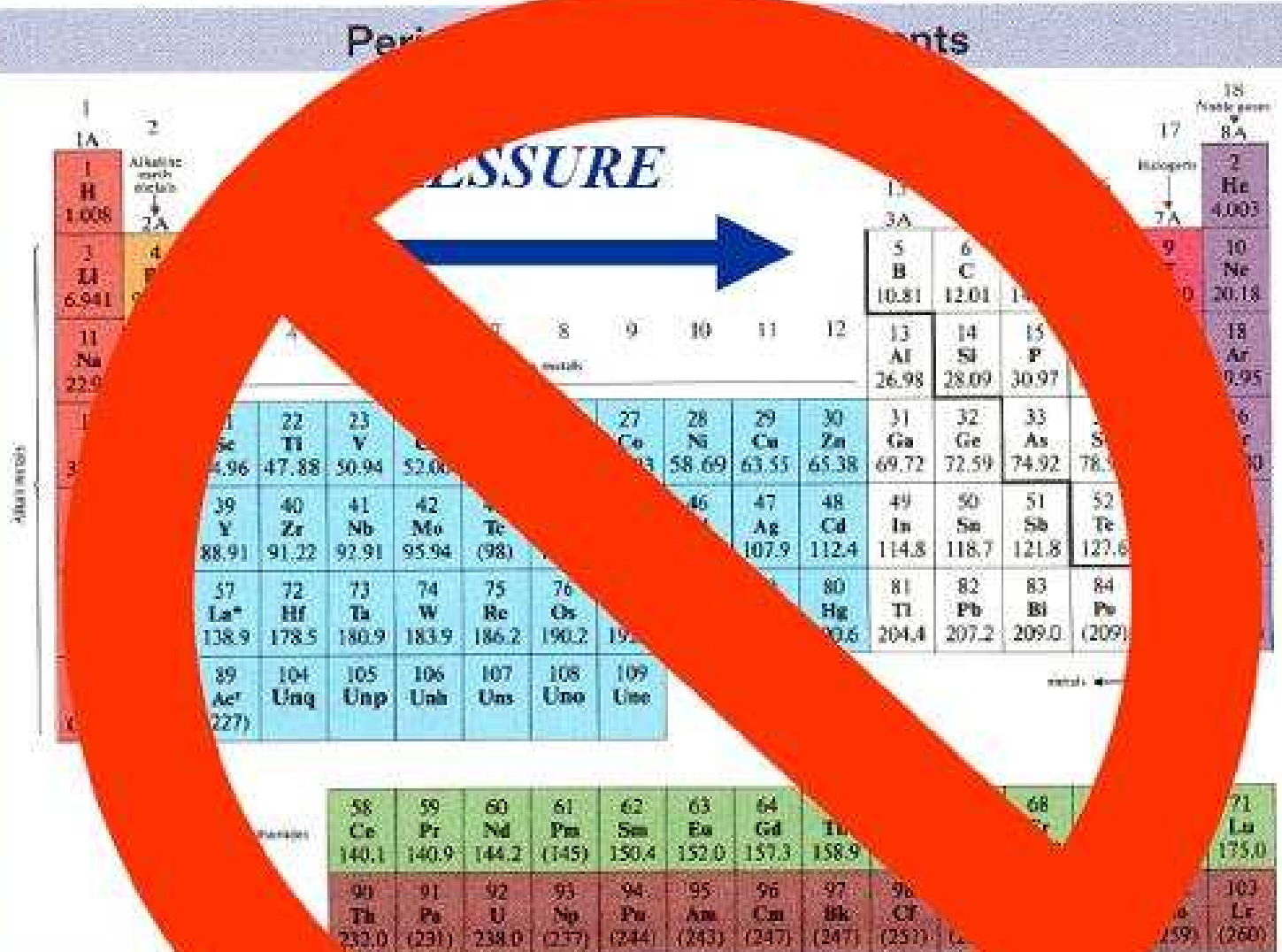
- Filling of *s*, *p*, *d*, ... orbitals
- Simple structures



PRESSURE

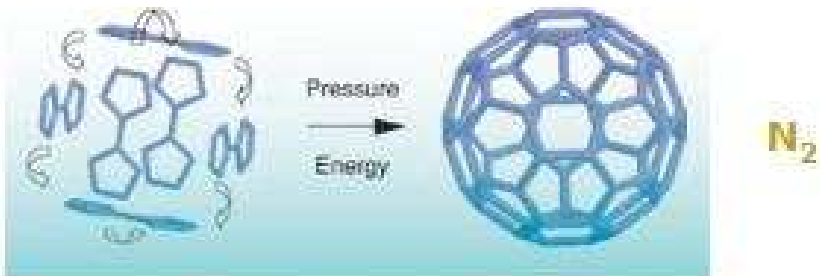
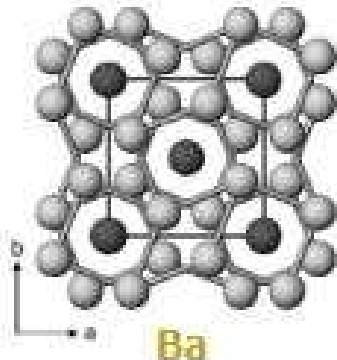


- Filling of *s*, *p*, *d*, *f* orbitals
- Simple structures



El nuevo mundo de las altas presiones

- Transformaciones novedosas: sólidos, líquidos, amorfos
- Estructuras de inesperada complejidad



- Ruptura de moléculas y formación de nuevas moléculas
- Nuevos fenómenos electrónicos y magnéticos. Superconductividad inducida por presión. Coexistencia de superconductividad y magnetismo.
- Nuevas reacciones químicas. Los gases nobles reaccionan a altas presiones: XeFe, Xe₂Fe, XeFe₂
- Nuevos materiales: C₃N₄, PtN



¿Cómo conseguir altas presiones?

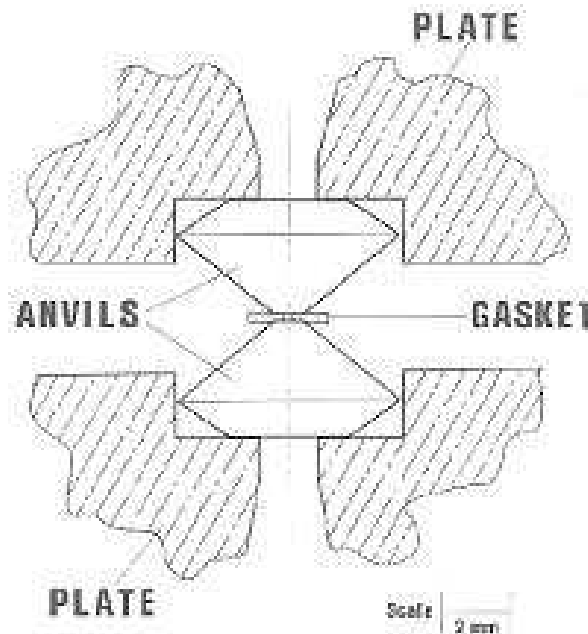
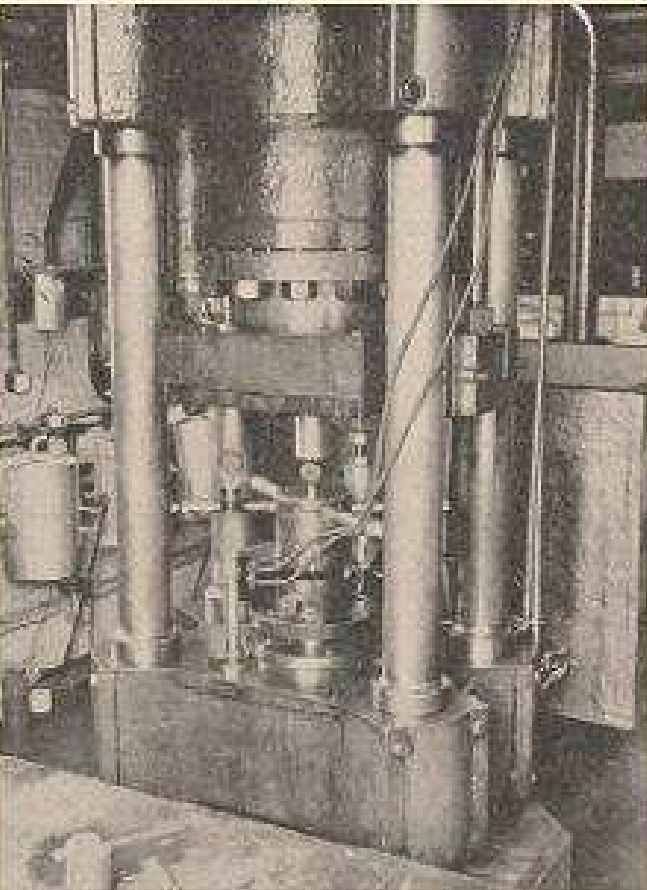


A diagram illustrating pressure. It shows a curved surface with a small area element labeled dS . A force vector labeled dF acts perpendicular to the surface at the point of the area element. This visualizes how pressure is the force per unit area.

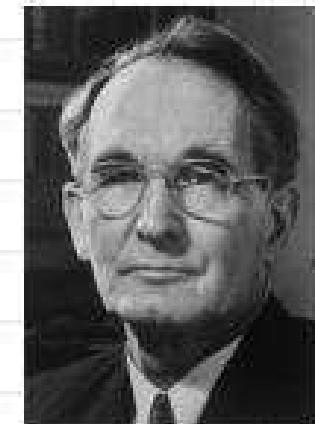
$$P = \frac{dF}{dA}$$

Presión = Fuerza / Área

Pioneros en el mundo de las altas presiones



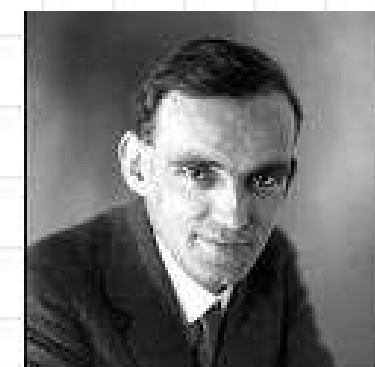
Celda de yunque opuestos



Percy W. Bridgman

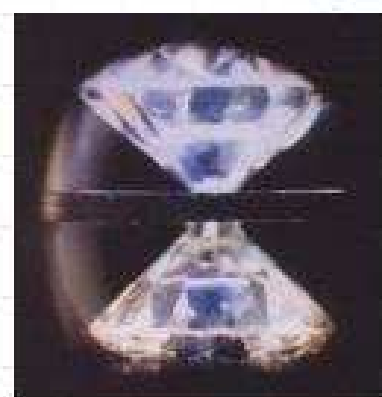
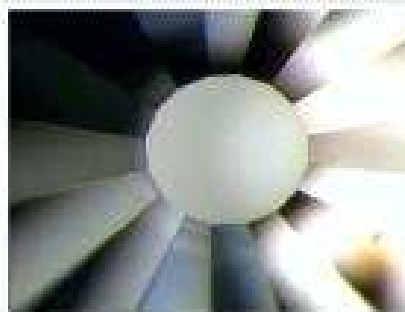
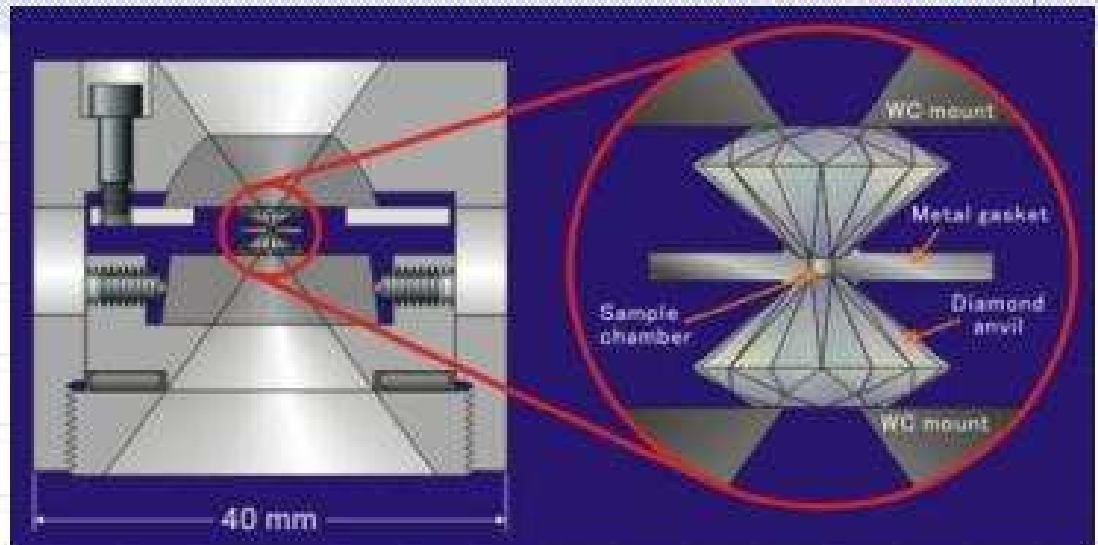
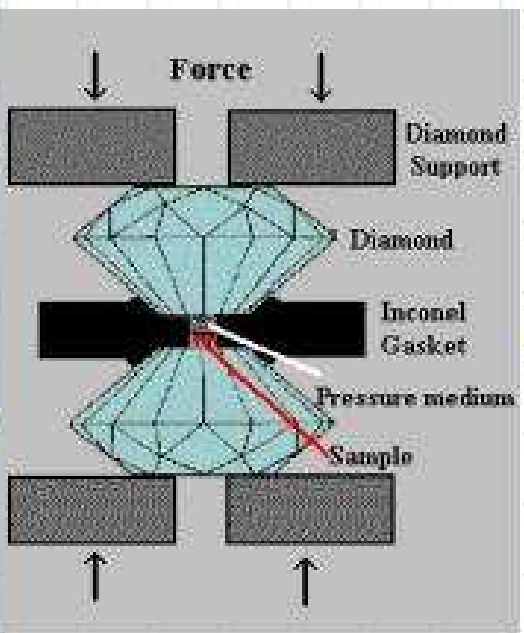
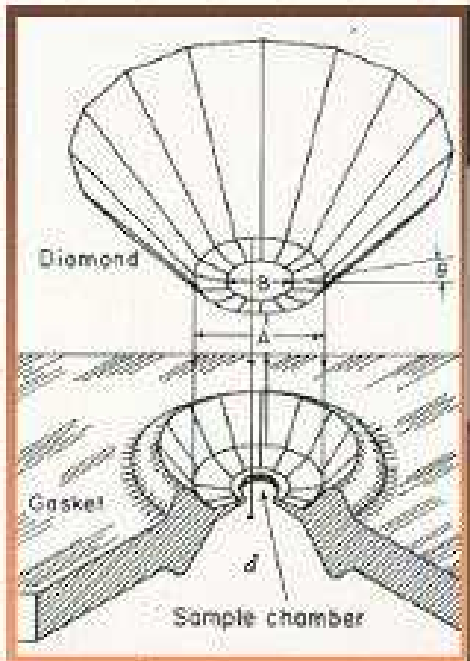
1881 - 1961

Premio Nobel de Física 1946



Erskine D. Williamson
1886-1923

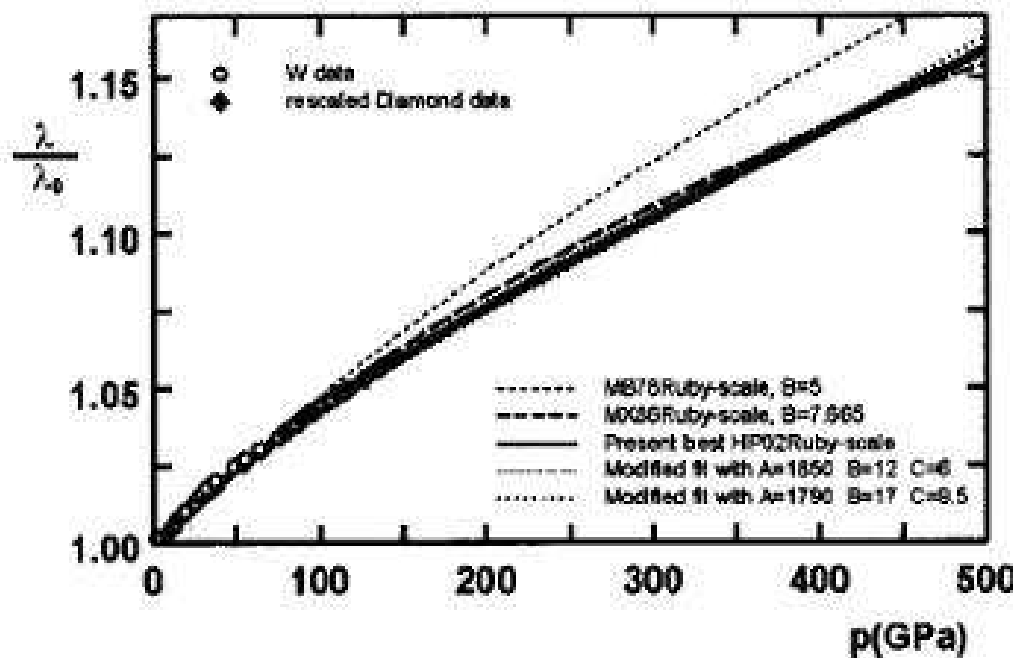
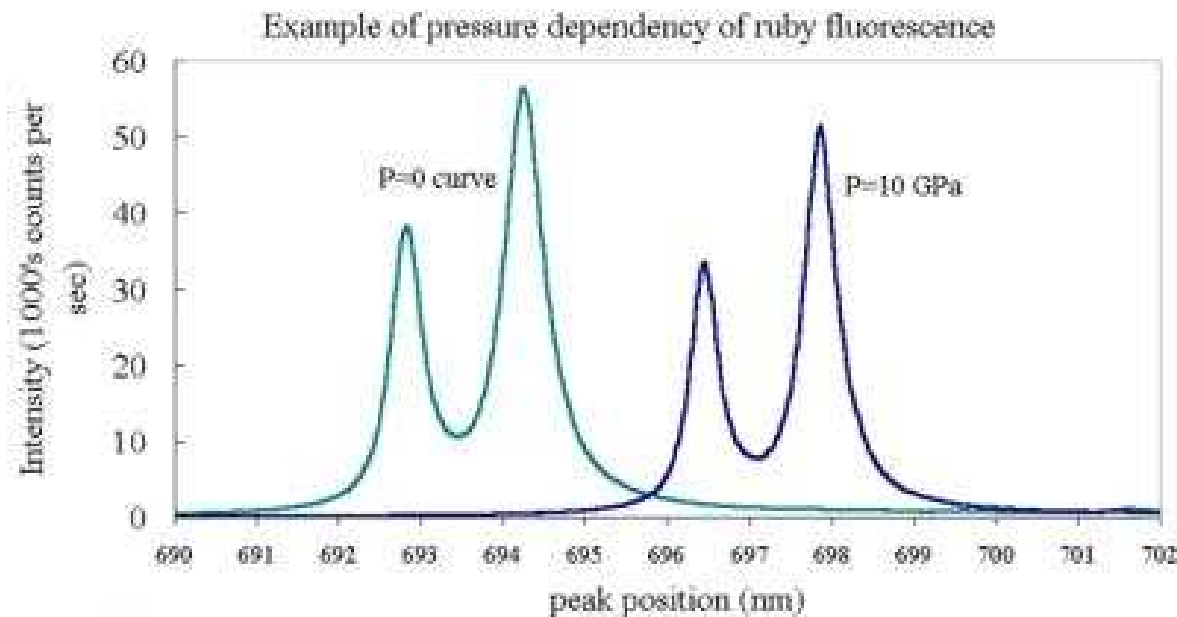
La celda de diamantes (DAC)



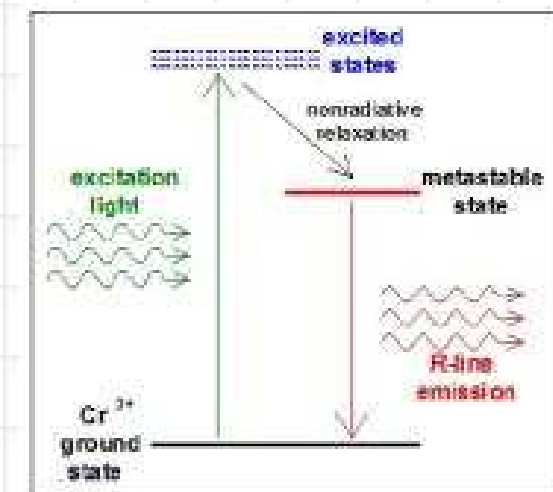
1/3 de carat
70 mg



Determinación de la presión



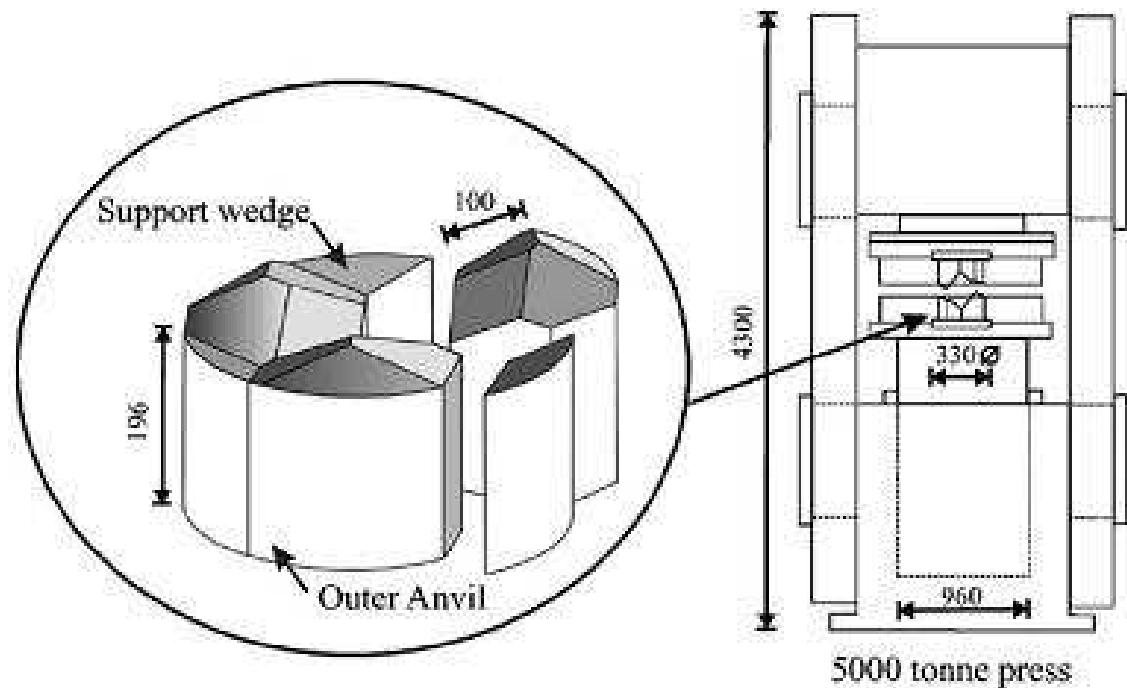
Fluorescencia del rubí



En experimentos de difracción, a partir de los parámetros de red de un standard usando su EOS.

Prensas de gran volumen

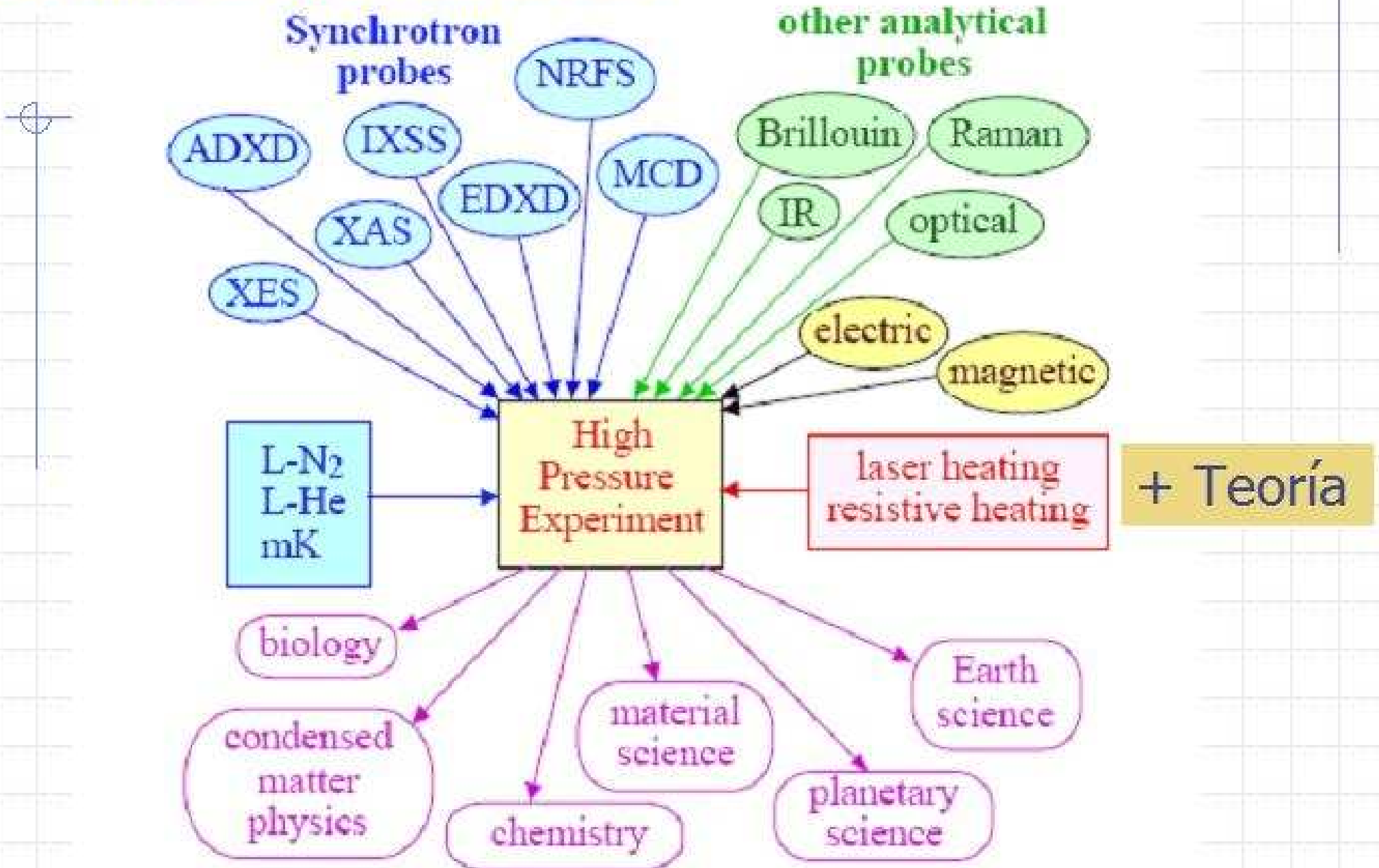
$$P < 50 \text{ GPa} - V \approx 20 \text{ mm}^3$$



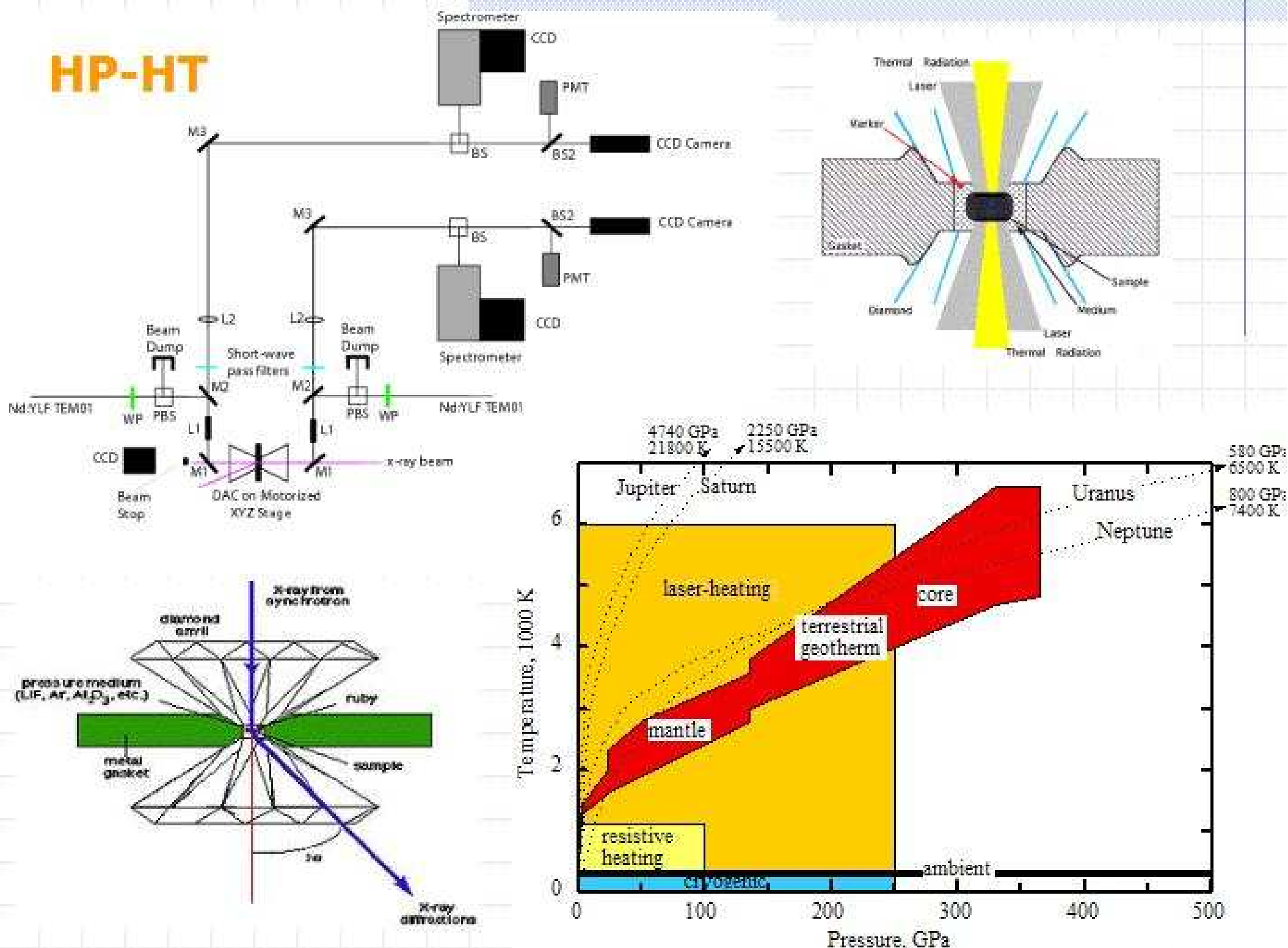
$$\text{DAC} \rightarrow P < 500 \text{ GPa} - V \approx 5 \cdot 10^{-6} \text{ mm}^3$$



Técnicas Experimentales

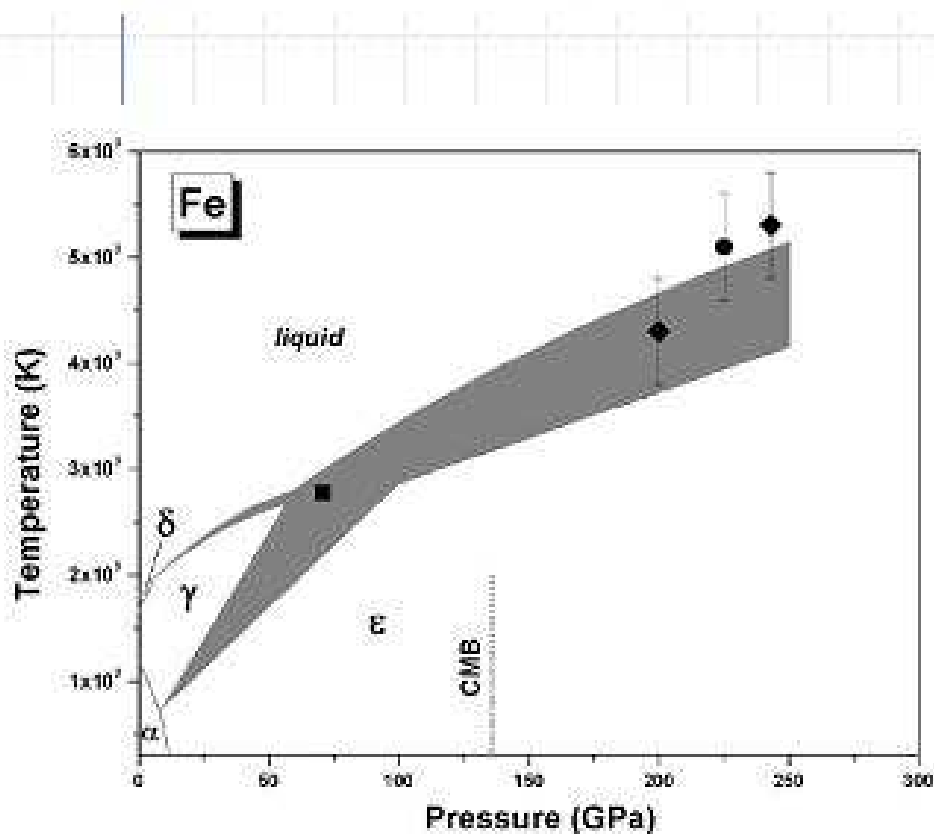


HP-HT

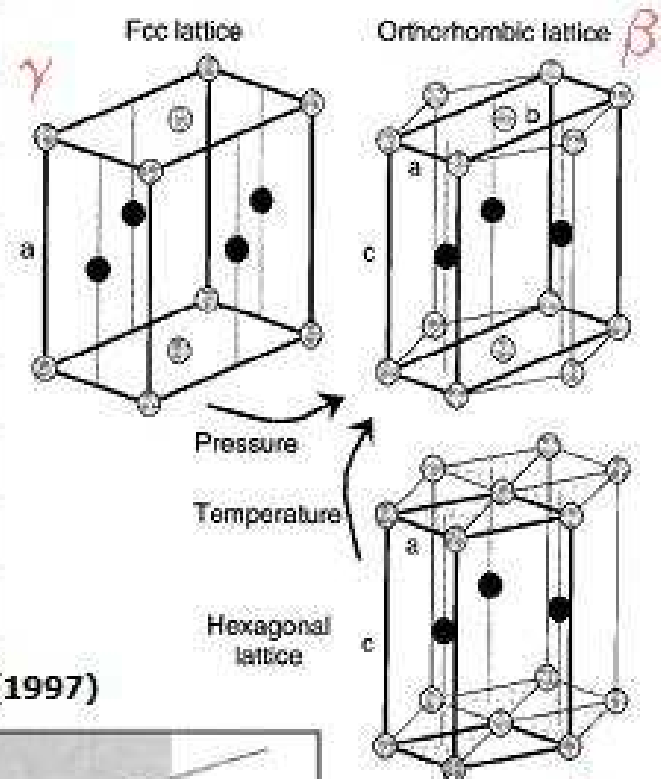
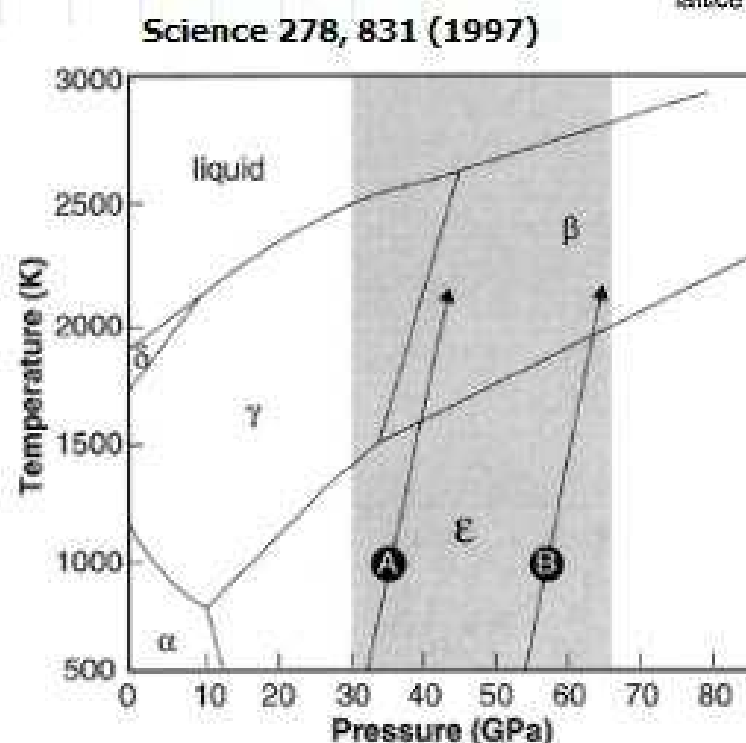


Hierro bajo presiones y temperatura extremas

Queremos conocer su estructura cristalina y temperatura de fusión bajo condiciones similares a las del núcleo terrestre.

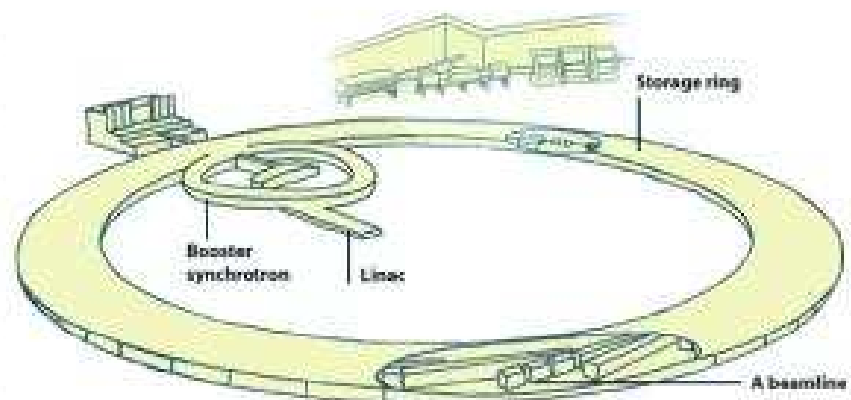


Phys. Rev. Lett. 92, 185701 (2004)



Estudiamos muestras de hierro de dimensiones micrométricas

Necesitamos "súper microscopios" (**Sincrotrón**)



Electrones acelerados a una energía de 7 mil millones de electron-volts (7 GeV).



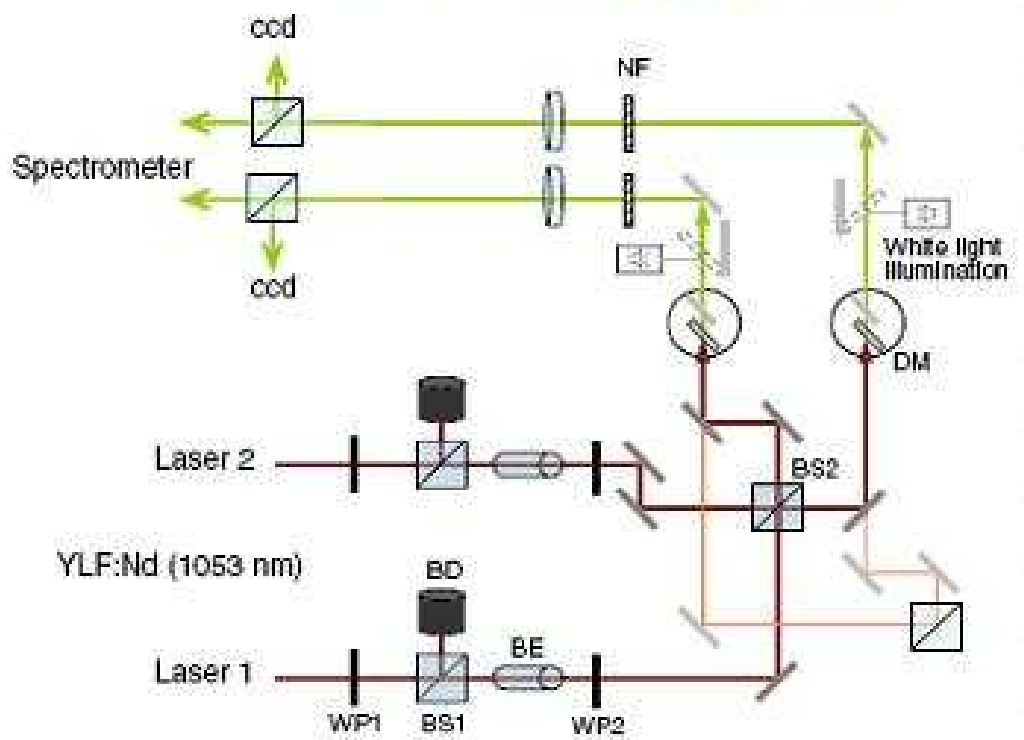
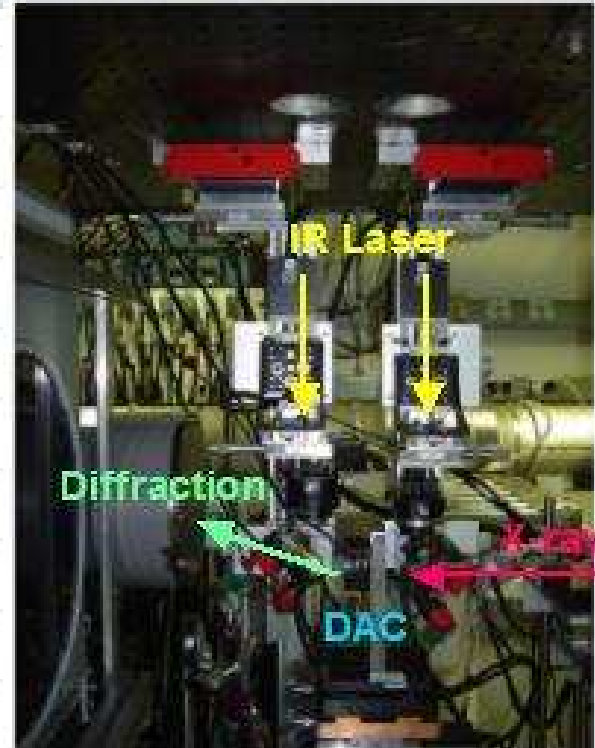
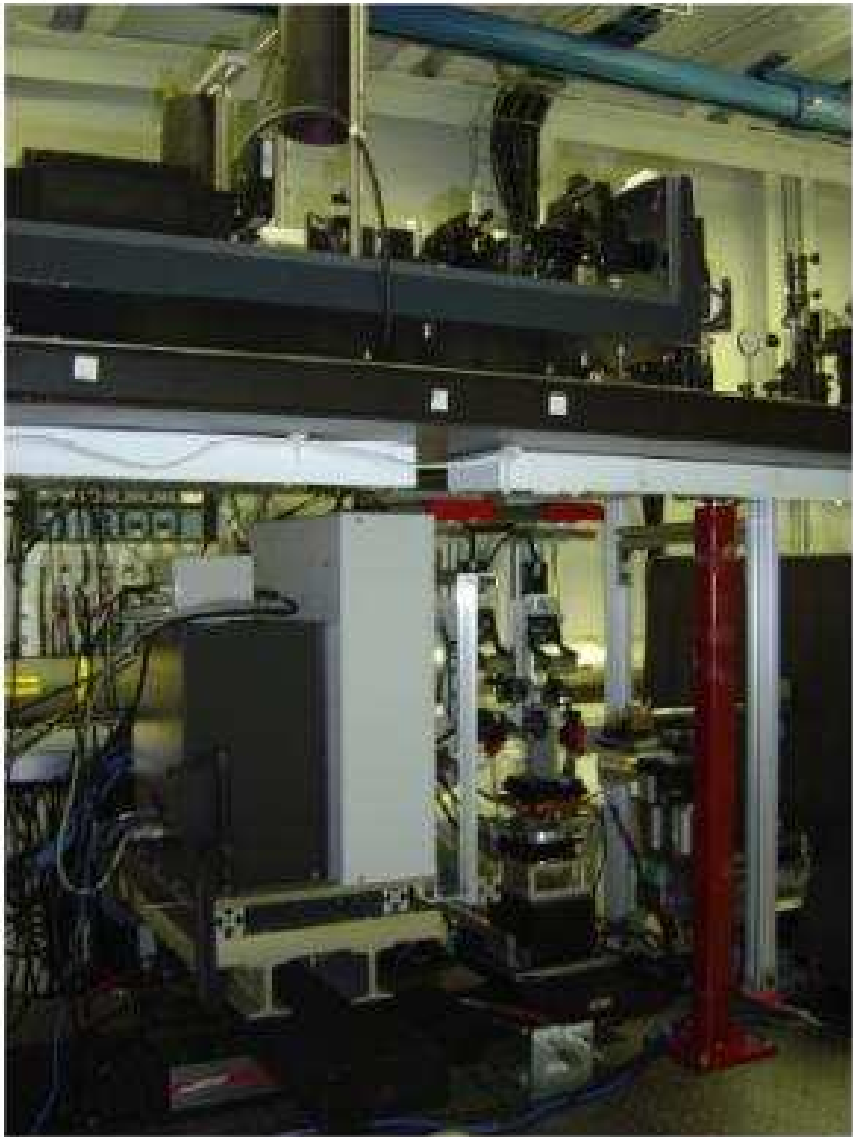
Radiación sincrotrón: radiación electromagnética producida por partículas cargadas que se mueven a alta velocidad (una fracción apreciable de la velocidad de la luz) en un campo magnético.



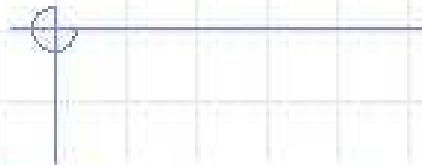
Ionización del aire producida por un haz de rayos x en un sincrotrón

APS, Argonne, USA
Diámetro circunferencia 1 km
ESRF (Francia), Diamond (UK), **ALBA** (Barcelona)

Calentamiento láser de DAC



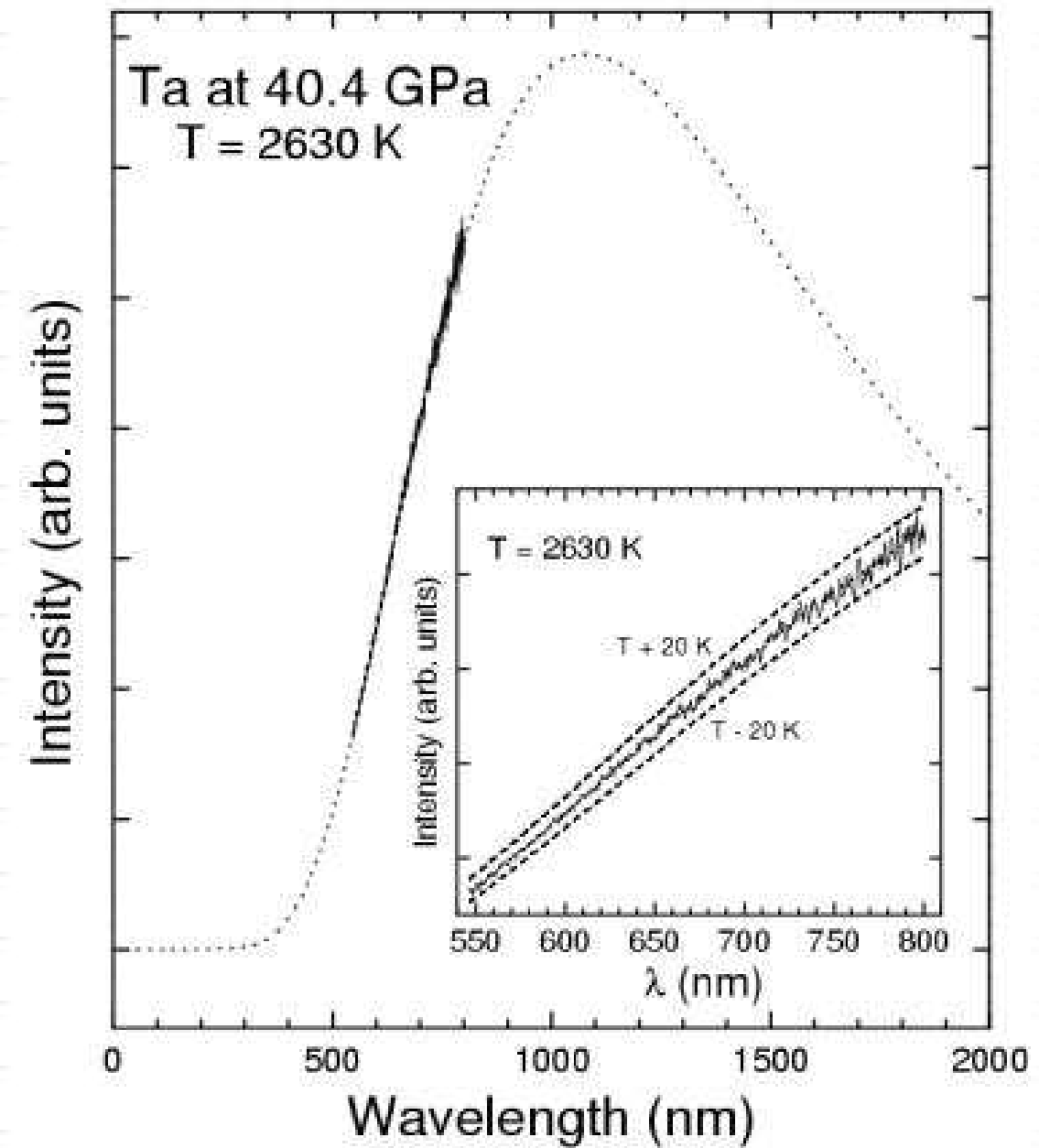
Determinación de la temperatura



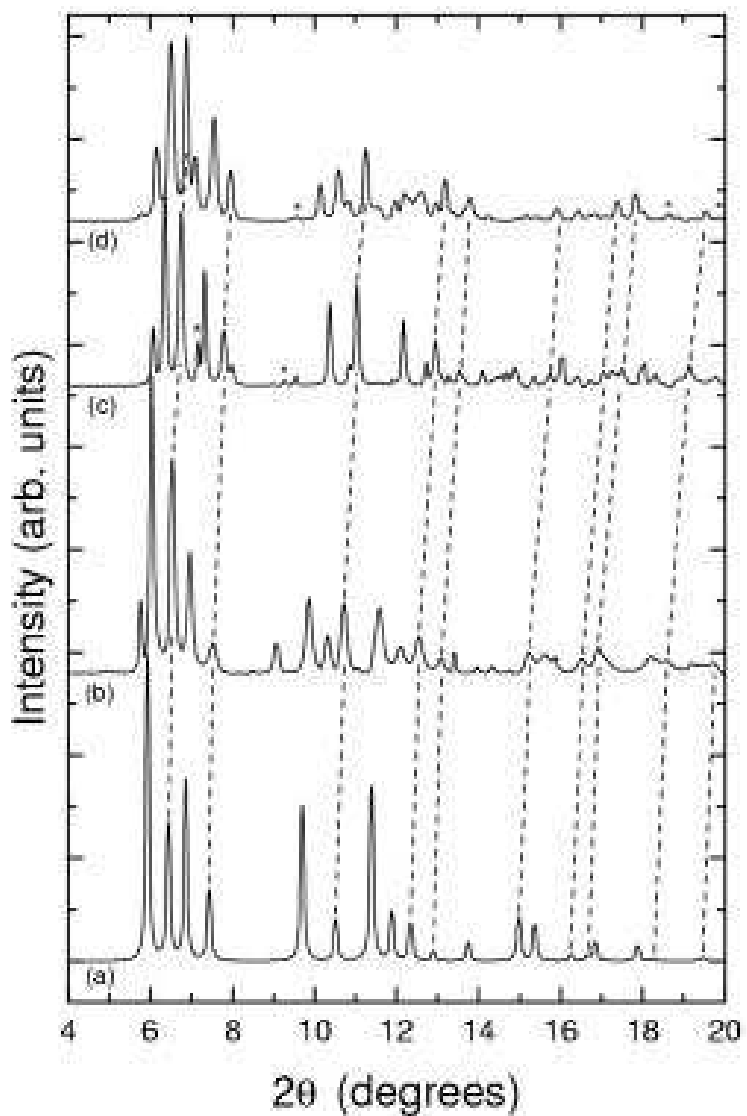
Espectroradiometría:

Midiendo el espectro emitido por la muestra y ajustando la radiación térmica con la función de Planck.

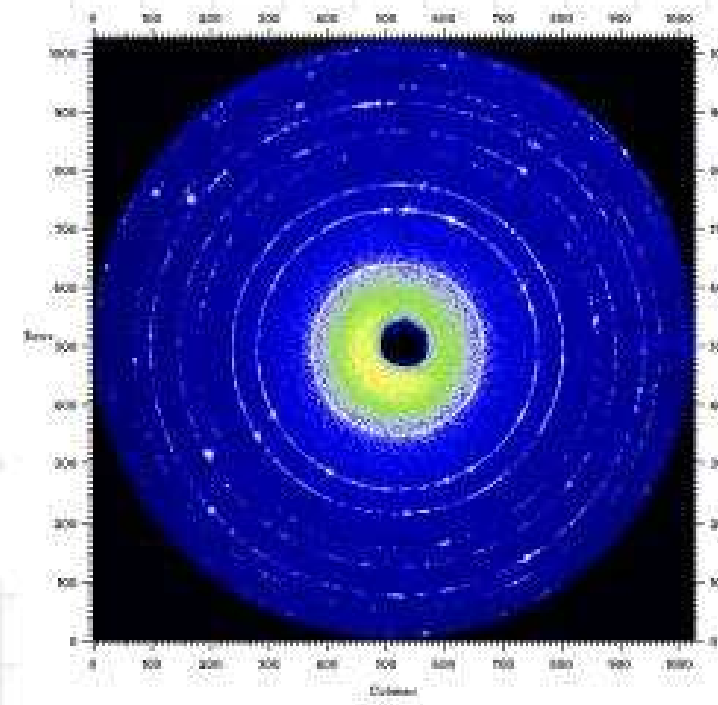
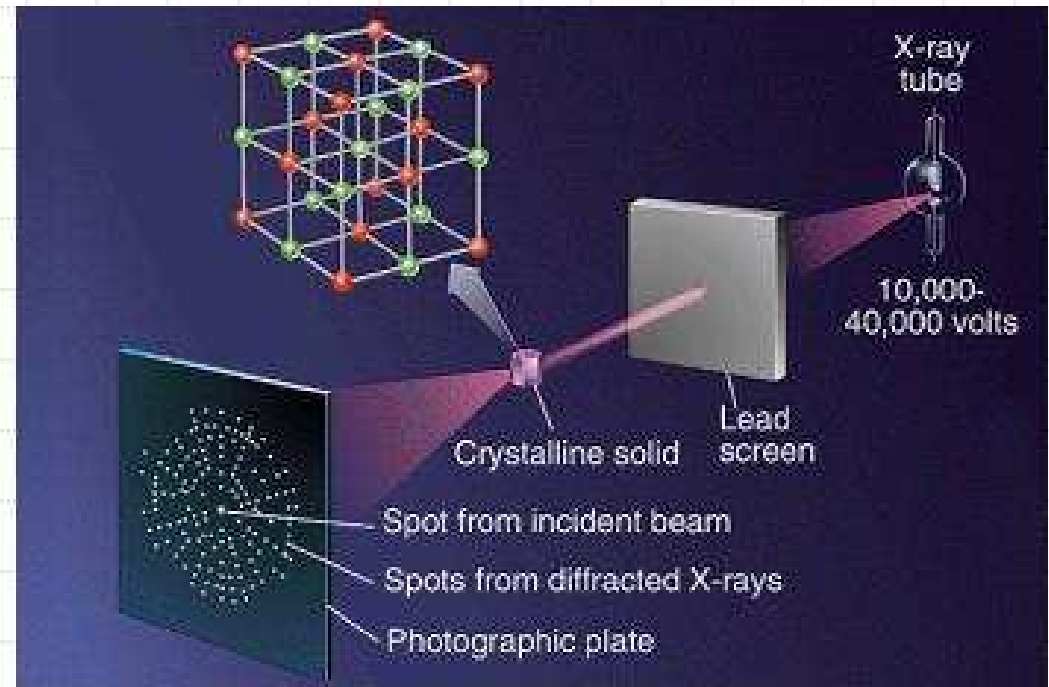
$$I_\lambda = \frac{c_1 \varepsilon(\lambda) \lambda^{-5}}{\exp(c_2/\lambda T) - 1}$$



Tratamiento de datos



ADXRD



Ley de Bragg

$$n \lambda = 2 d \operatorname{seno}(\theta)$$

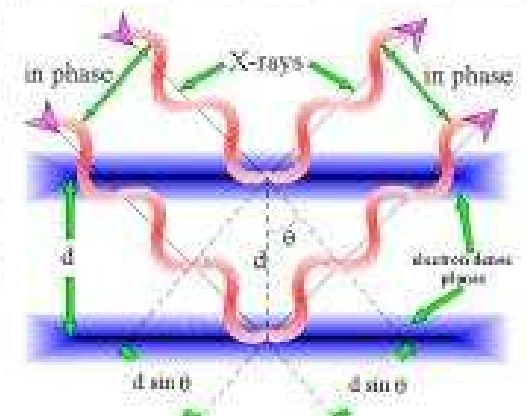
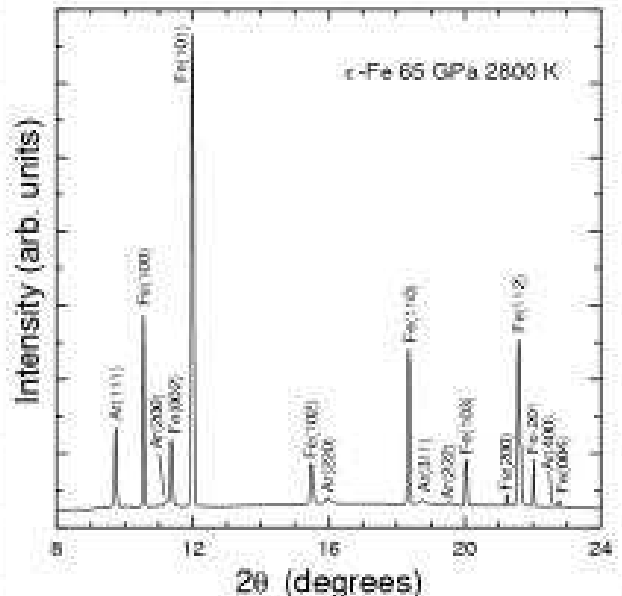
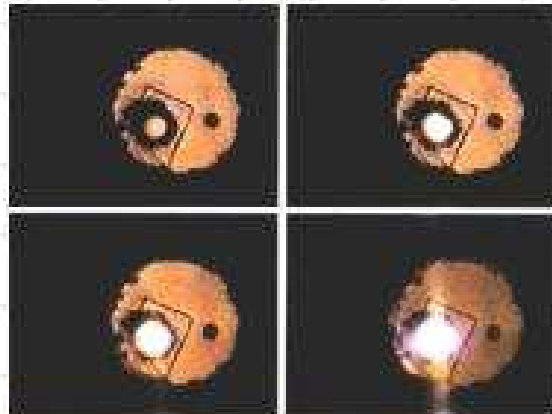


Diagrama de Fases del Fe

Estructura cristalina: Difracción de rayos X haz monocromático (10 μm x 10 μm)



Curva de Fusión:

- Métodos ópticos: movimientos de convección en la superficie del metal, cambios de reflectividad o discontinuidad en la relación potencia del láser - temperatura, formación de texturas.
 - Rayos X: desaparición de picos de difracción y aparición de un scattering difuso.

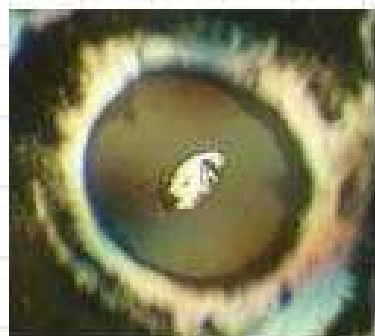
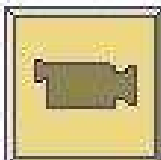


Diagrama de Fases del Fe

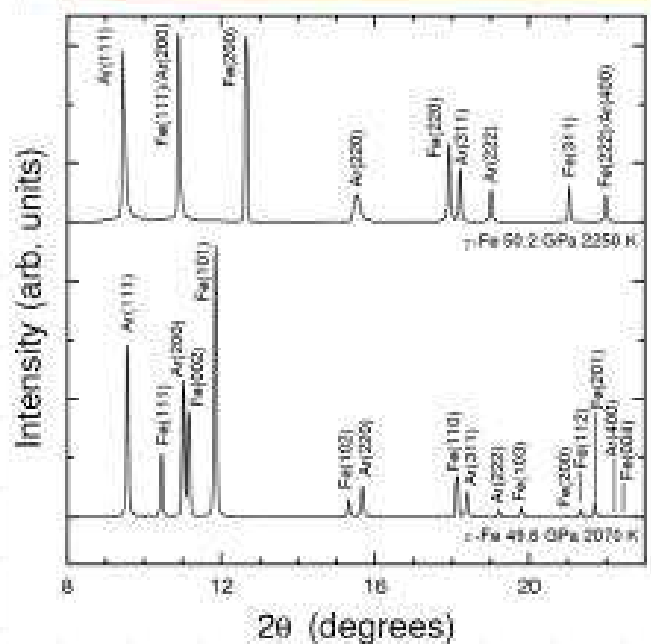
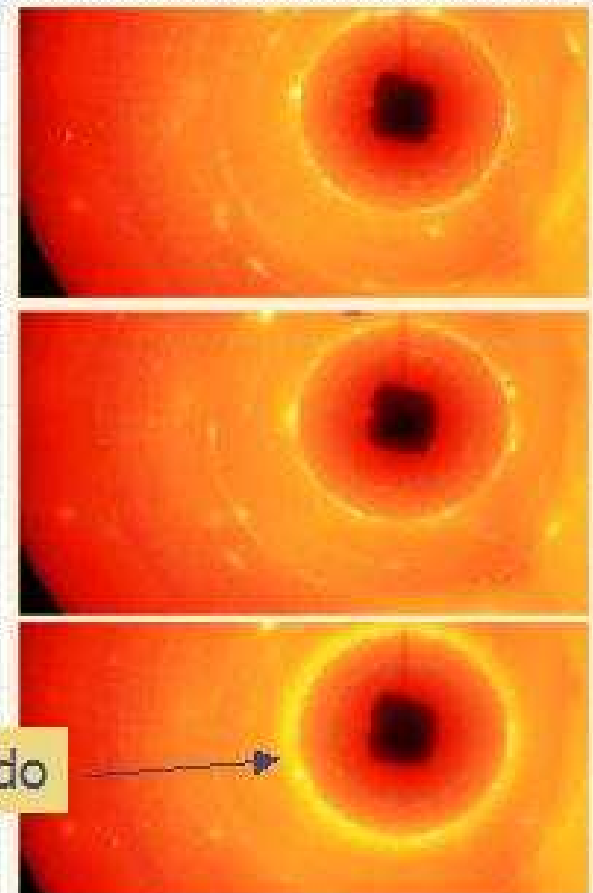
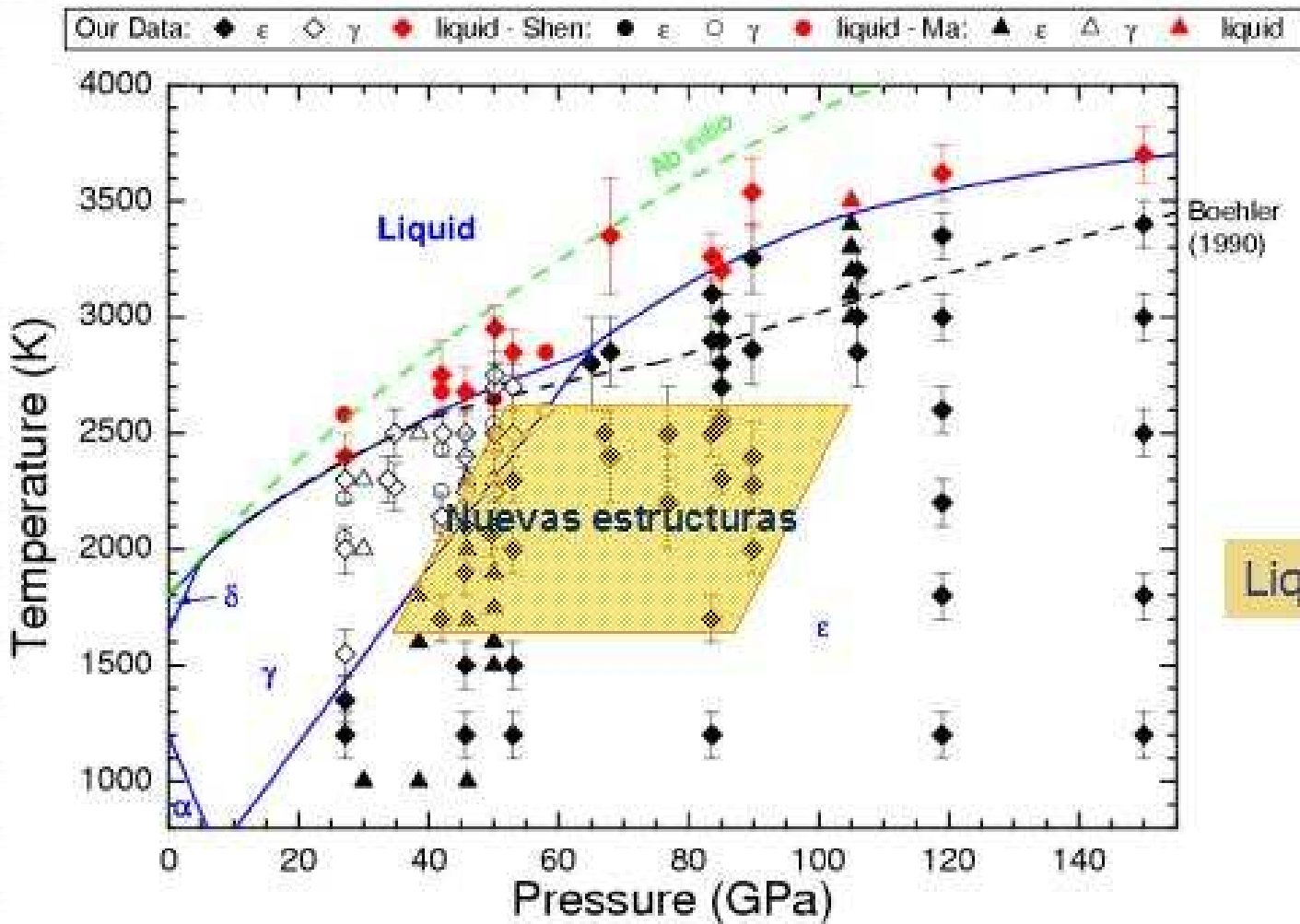
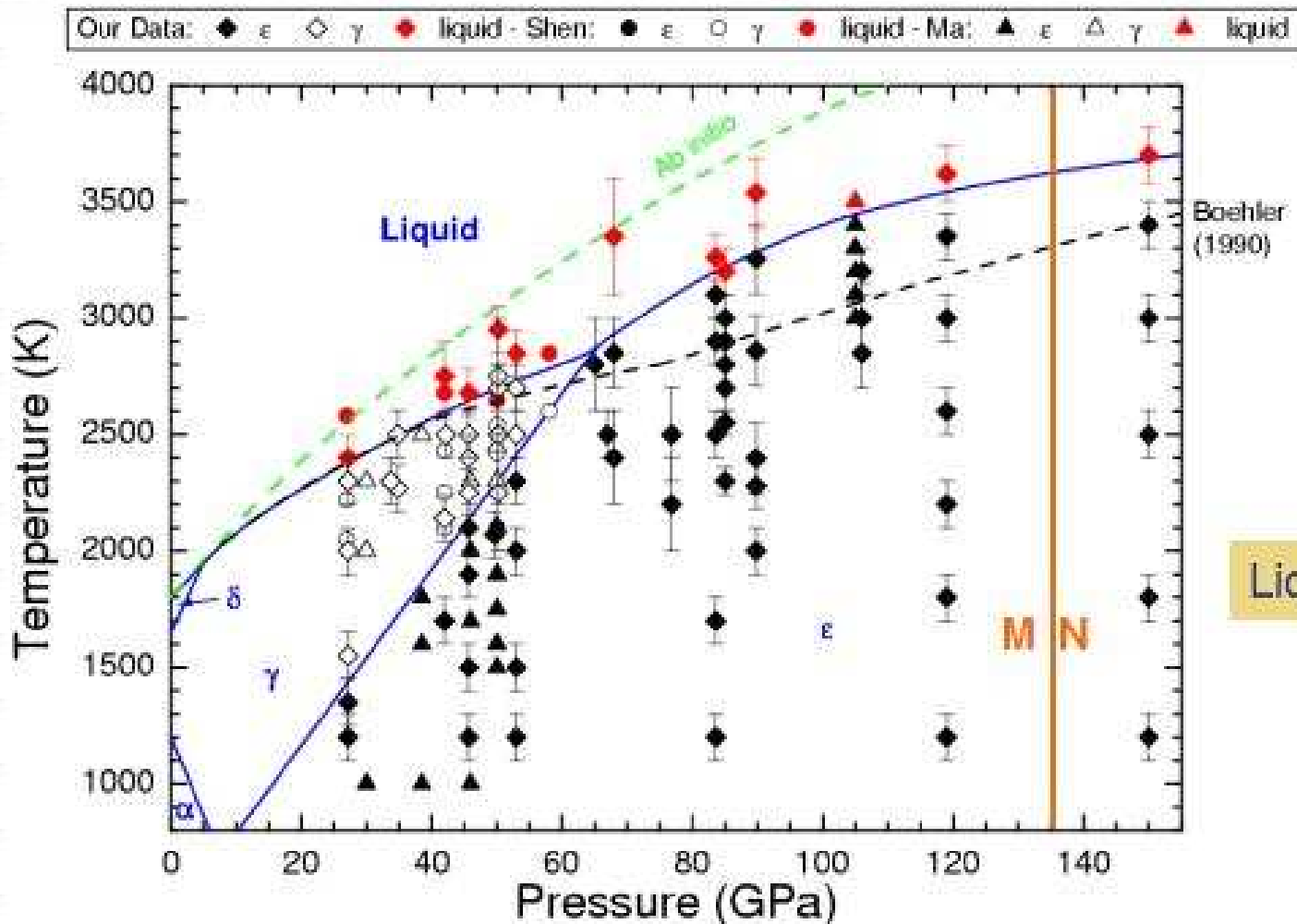


Diagrama de Fases del Fe

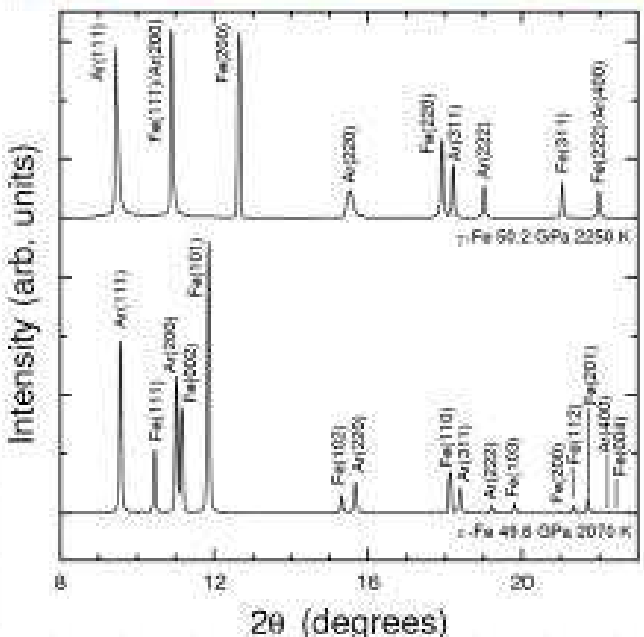
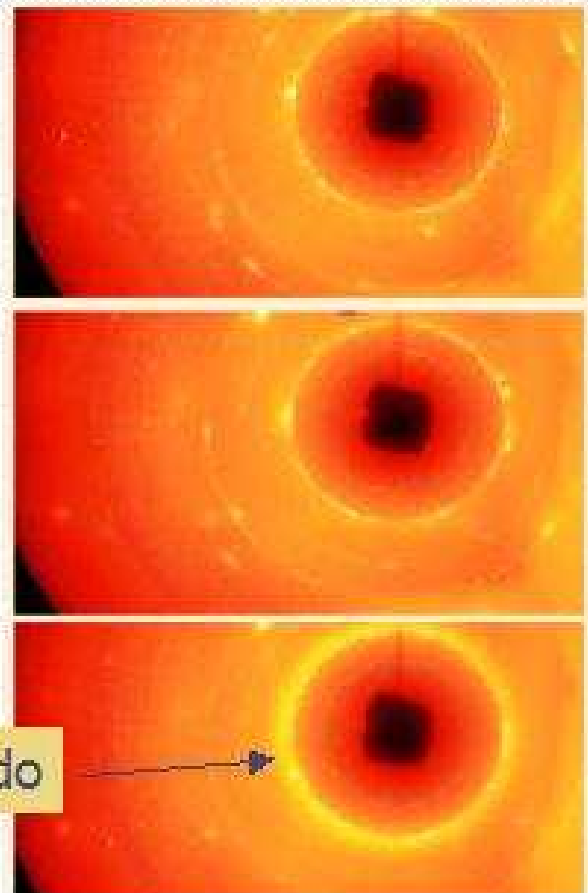


Sólo las fases γ y ϵ pueden identificarse

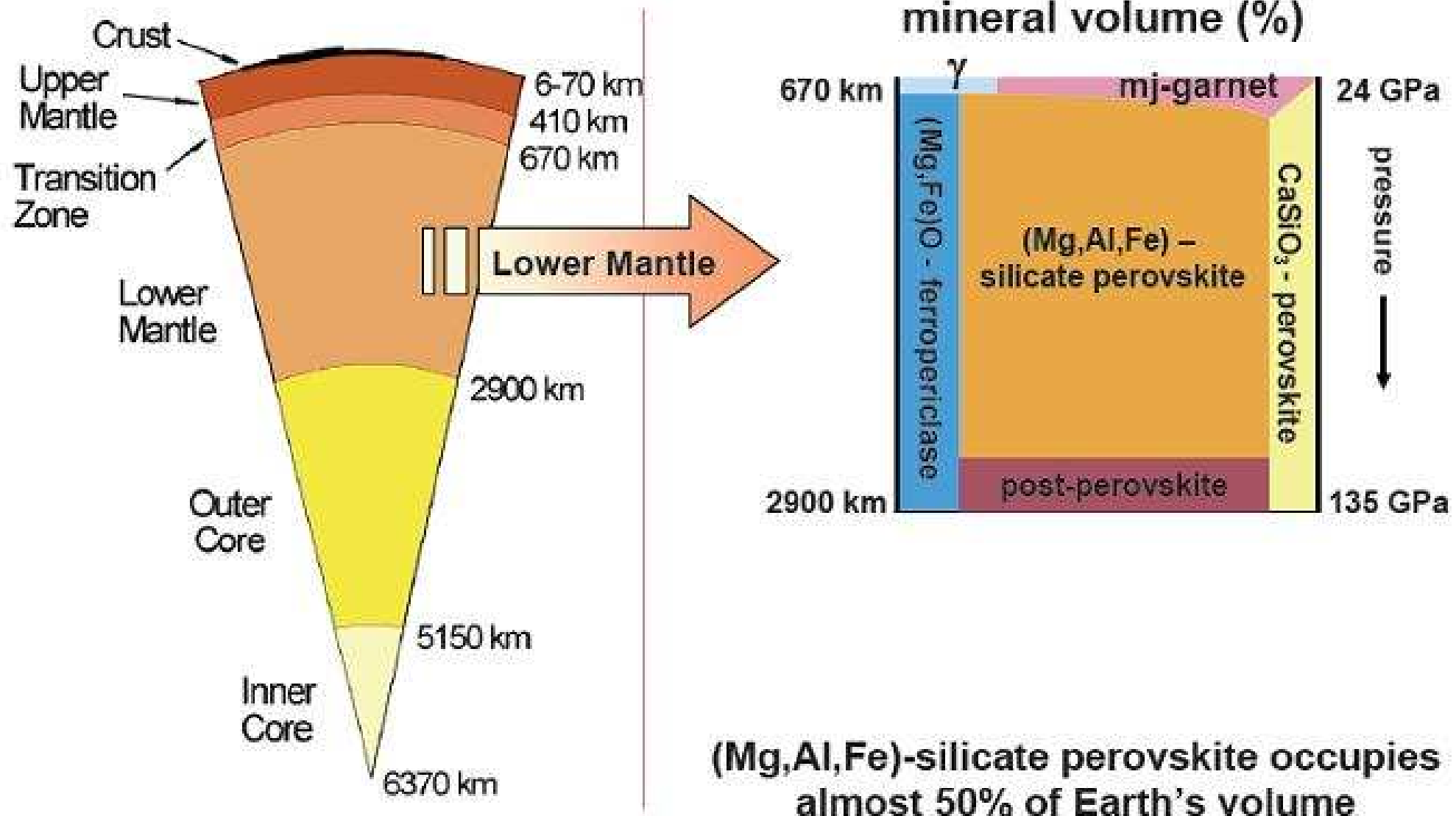
Temperatura de fusión = 5500(200) K en el centro de la tierra (límite superior)

Supuesta fase β : de FeO

Phys. Rev. B 76, 134101 (2007)

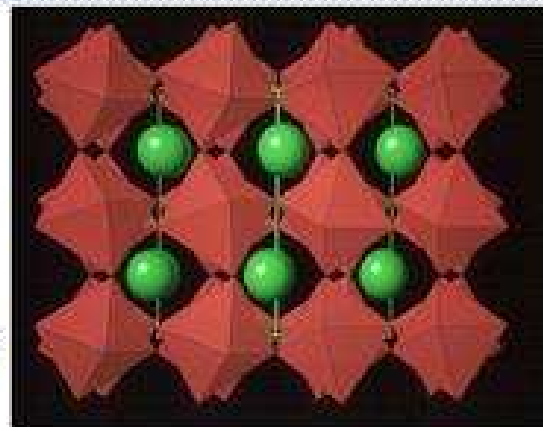
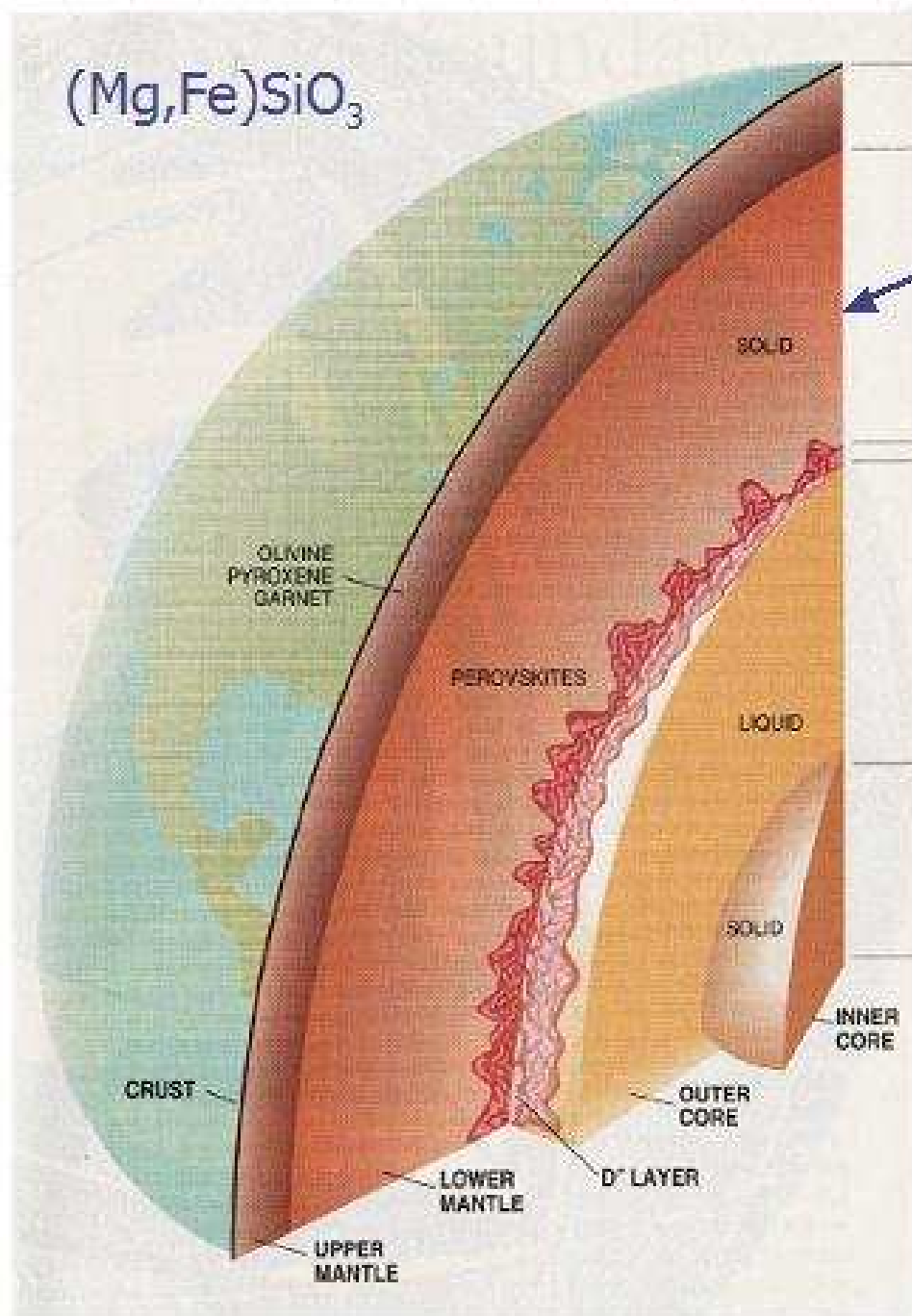


Minerales Terrestres: perovskita $(\text{Mg}, \text{Fe})\text{SiO}_3$

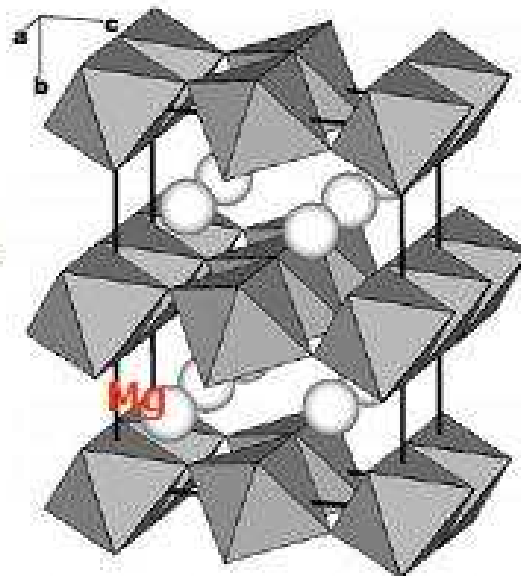


Propiedades físicas y químicas de los silicatos $(\text{Mg}, \text{Fe})\text{SiO}_3$ → propiedades del manto terrestre. Balance de cargas, concentración de defectos, presencia de hierro metálico, conductividad térmica, elasticidad, cambios estructurales.

Minerales Terrestres

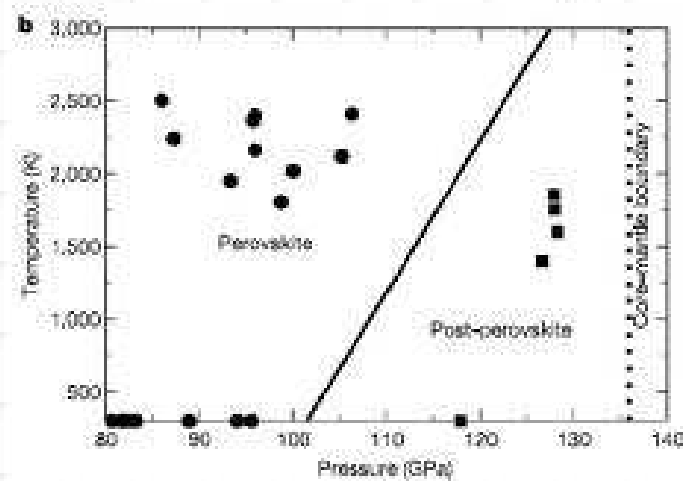


Perovskita



Nature 430, 445 (2004)

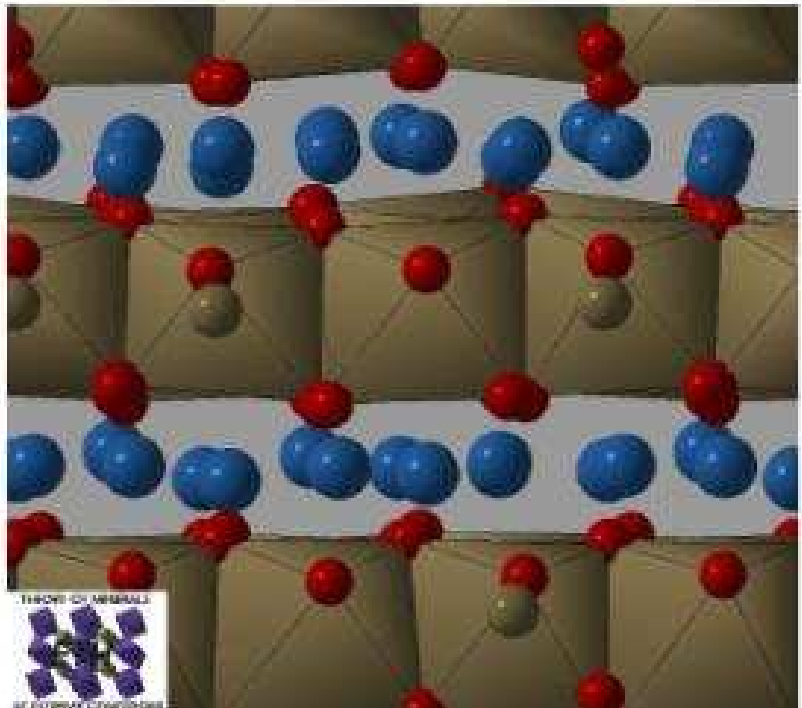
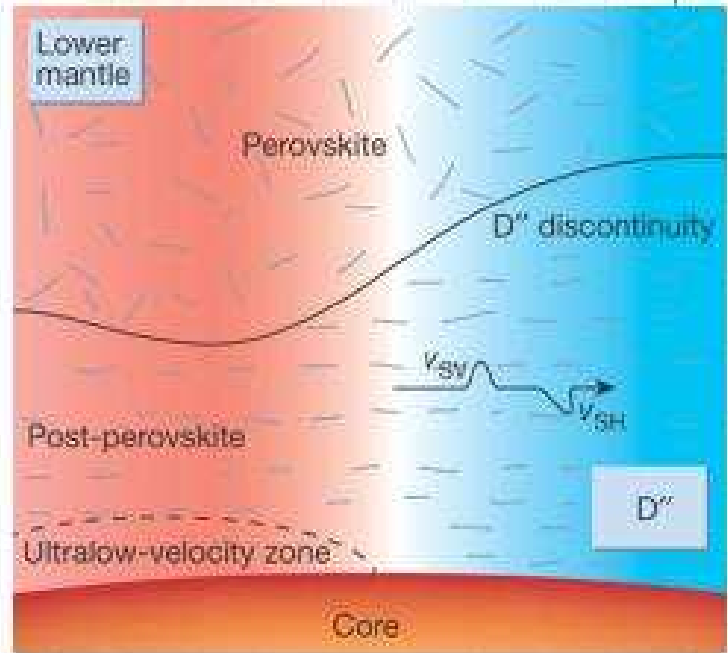
Post-perovskita



Capa D'' – Post-perovskita

Discontinuidad D'': transición estructural perovskita → post-perovskita del $(\text{Mg}, \text{Fe})\text{SiO}_3$ a 200–300 km sobre la base del manto. La frontera de fases ↑ en las regiones frías (azul) y ↓ en las calientes (rojo).

Capas de la fase post-perovskita paralelas al núcleo de la Tierra: propagación mas veloz de las ondas transversales horizontales (v_{SH}) que de las polarizadas verticales (v_{SV}).

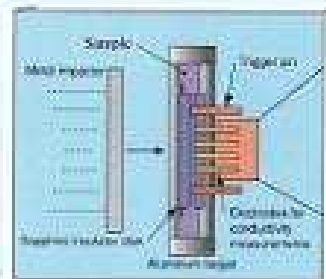


Post-perovskita “absorbe” Fe favoreciendo reacciones químicas Entre el núcleo y el manto.

Moléculas Simples



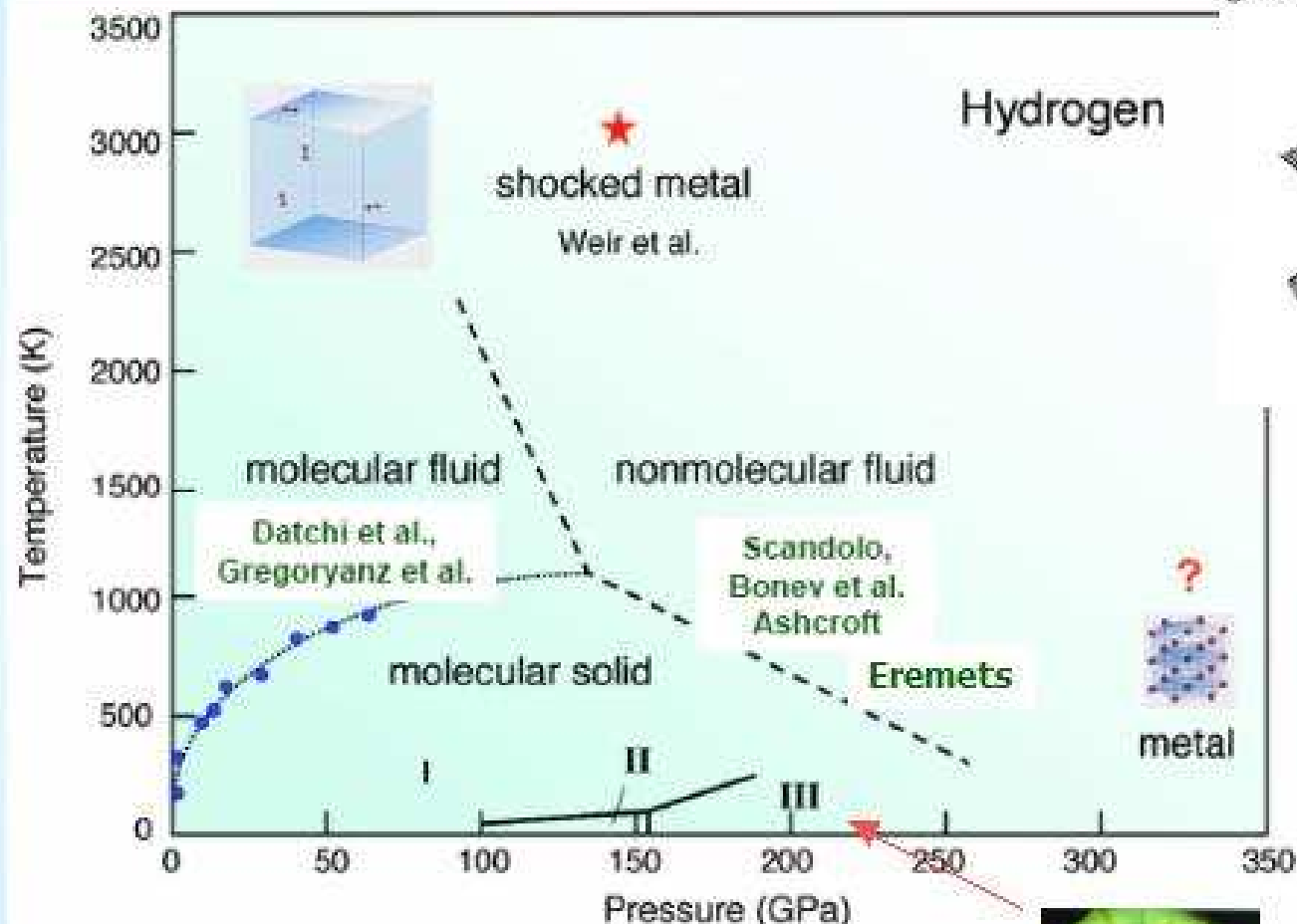
STATIC



DYNAMIC



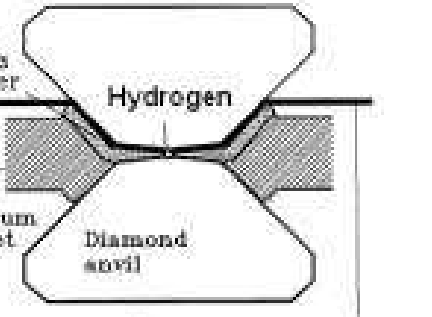
THEORY



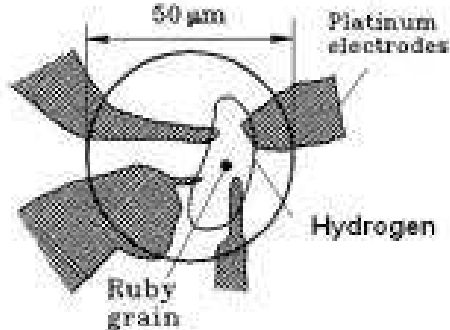
Moléculas estables hasta ~ 300 GPa (< 300 K)

Disociación a altas P-T

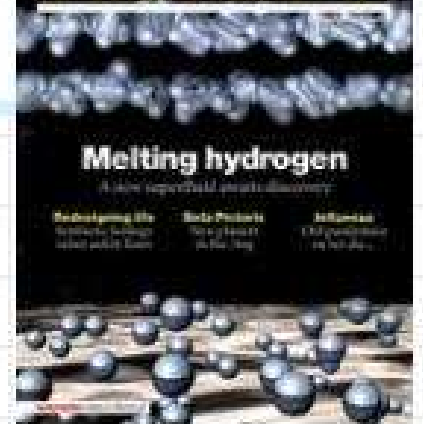
Superconductor de altas temperaturas y superfluido



Hydrogen

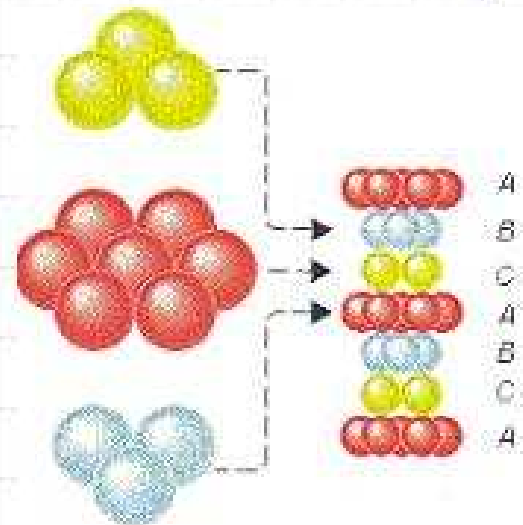
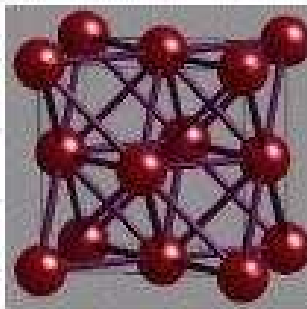
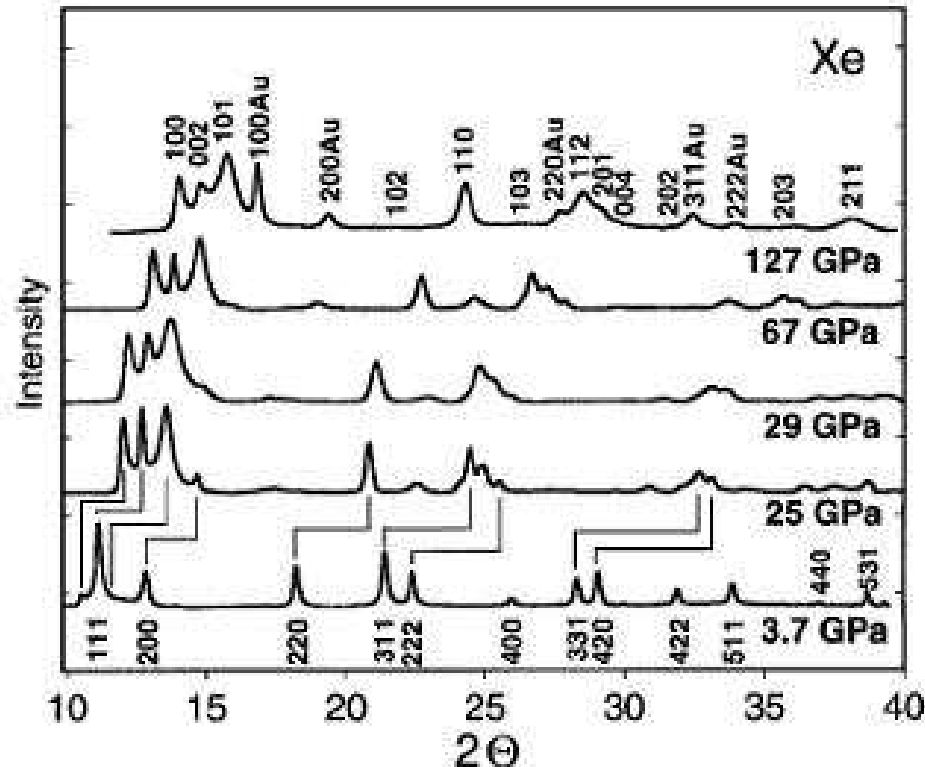


nature



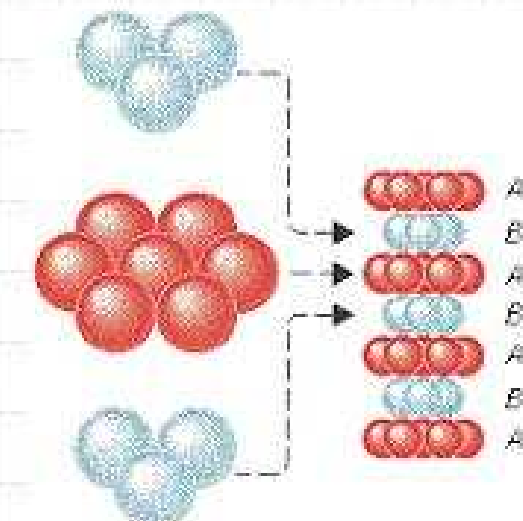
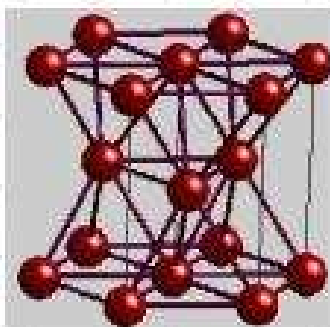
Moléculas Simples

Gases raros pesados (Ne, Ar, Kr, Xe): fcc



Phys. Rev. B 73 092106 (2006)

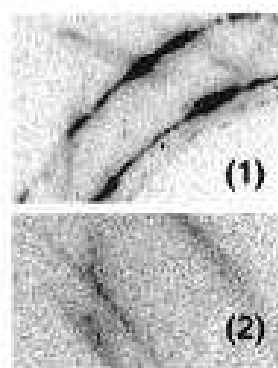
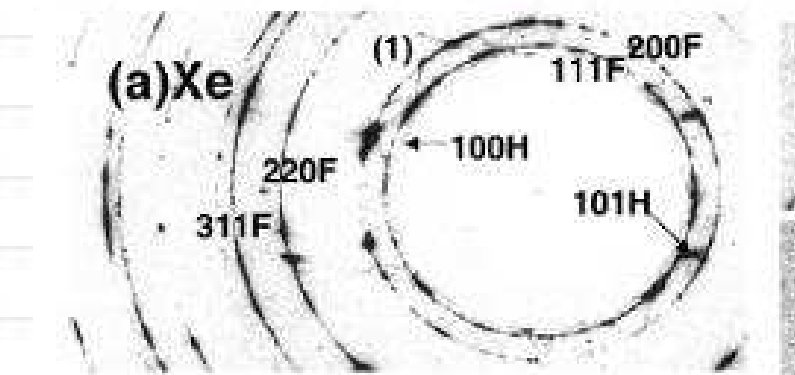
Phys. Rev. B 65, 214110 (2002)



Altas Presiones: hcp

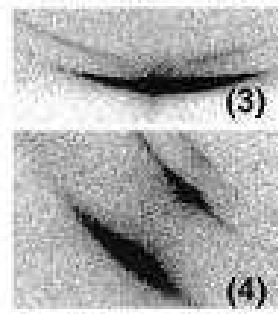
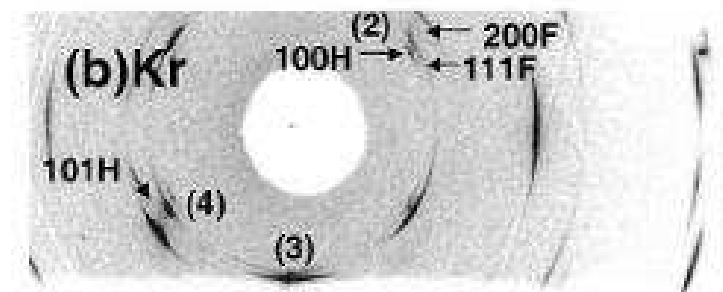
Xe: 70 GPa – Kr: 170 GPa – Ar: 310 GPa

Moléculas Simples



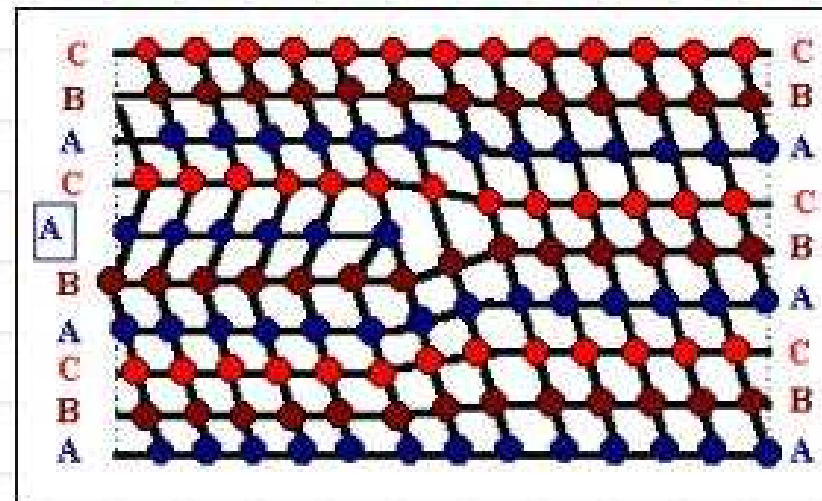
(1)

(2)



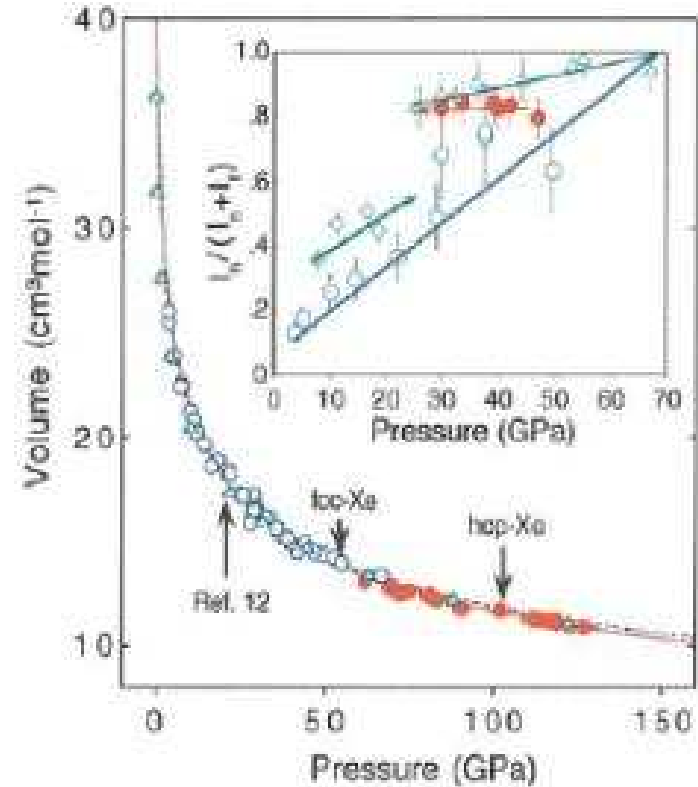
(3)

(4)



Coexistencia de Fases

Xe: 3 GPa – 70 GPa



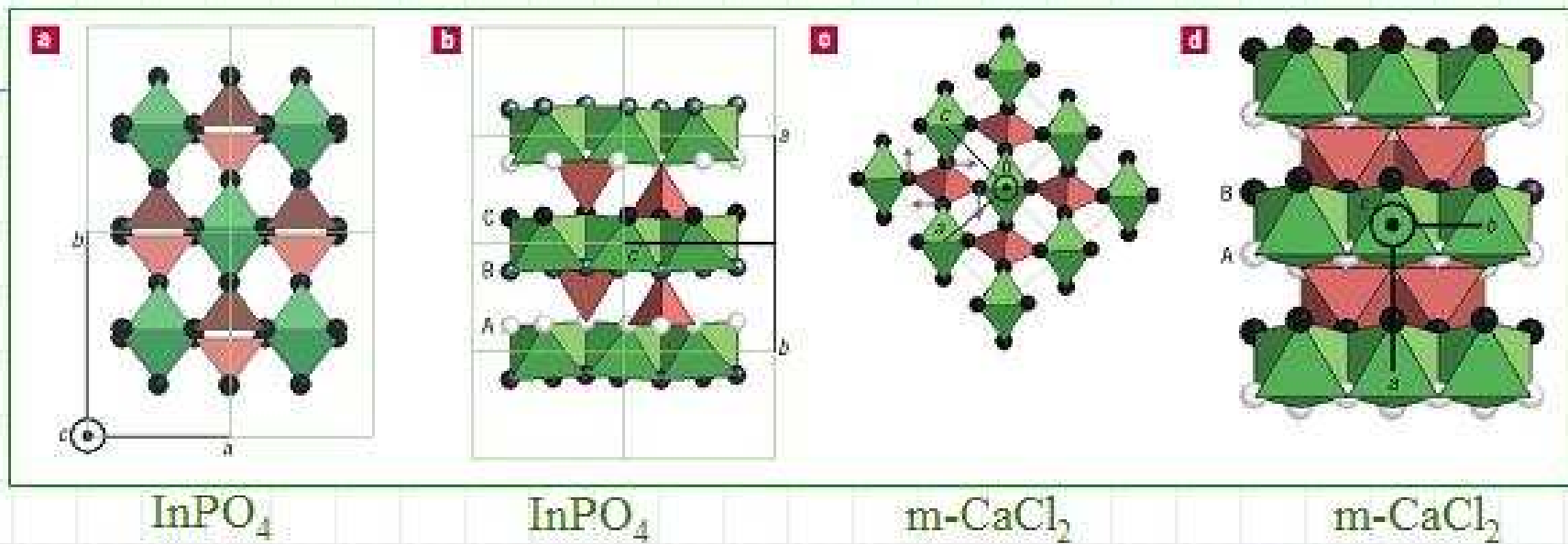
Baja presión: G.N. muy blandos (van der Waals)

Alta presión: G.N. muy duros, menos
comprimibles que el acero (enlaces covalentes)

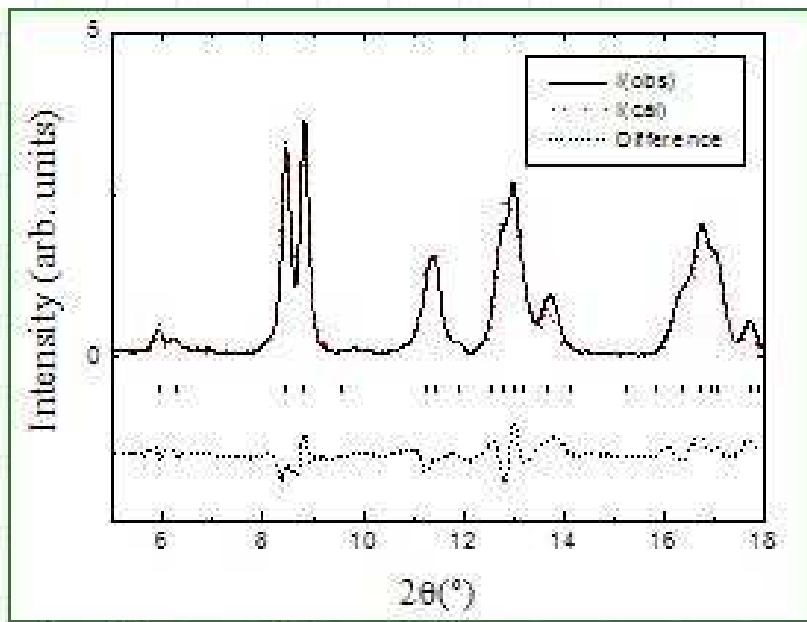
Xe: superconductor a 140 GPa

Defectos → reordenamiento atómico local

Six-fold-coordinated phosphorus by oxygen in AlPO₄



Nature Materials 6, 698 (2007)



Transiciones de fase inducidas por la presión

Berlinita(trigonal) → InPO₄(ortorrómbica) 13 GPa
→ m-CaCl₂(monoclínica) 65 GPa

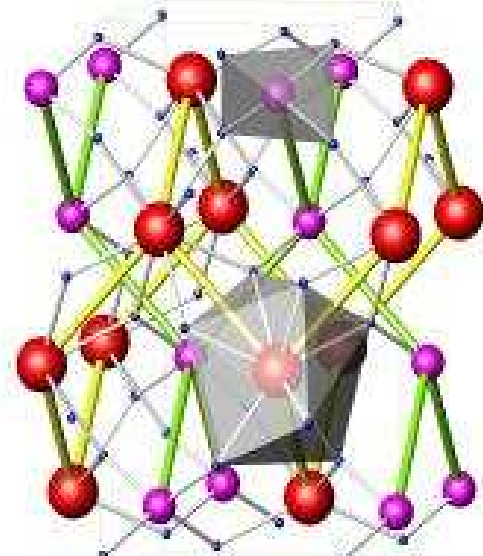
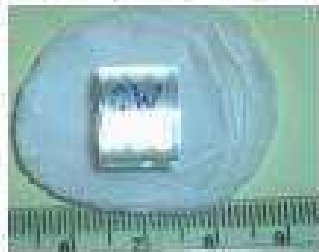
Coordinación del fósforo = 6, algo desconocido!!!

Similitudes entre AlPO₄ y SiO₂ → nueva familia de compuestos análogos a los silicatos (SiO₆) pero basados en PO₆.

Óxidos Ternarios AWO_4

CaWO_4 , SrWO_4 , BaWO_4 , PbWO_4 , EuWO_4

Estructura cristalina: tetragonal $I4_1/a$, # 88, $Z = 4$

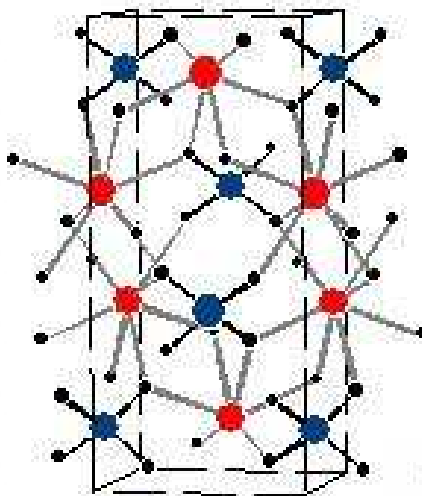


Aplicaciones

- > Detectores de rayos \times y γ en aplicaciones medicas
- > PbWO_4 : detector centellador para aceleradores de partículas (LHC - CERN)
- > Experimentos de bajo ruido en Física de Partículas → detectar partículas masivas que interactúan débilmente (posibles constituyentes de la Materia Oscura)
- > Dopados con iones de tierras raras → desarrollo de láseres de estado sólido de alta potencia (verde - azul)
- > Sus fases de altas presiones → posibles compuestos ultraduros (endurecedores de cerámicas).

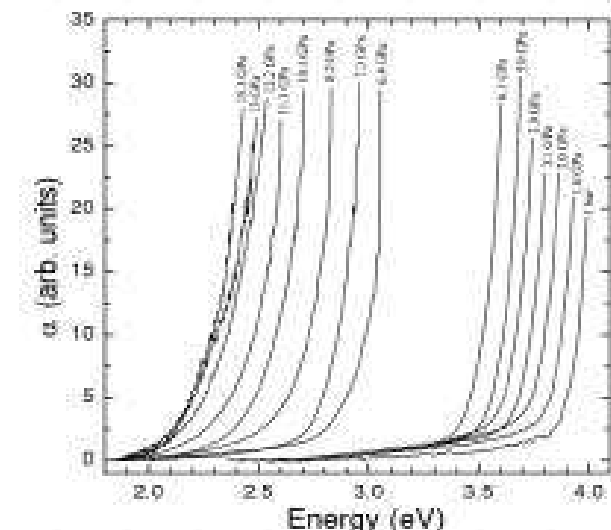
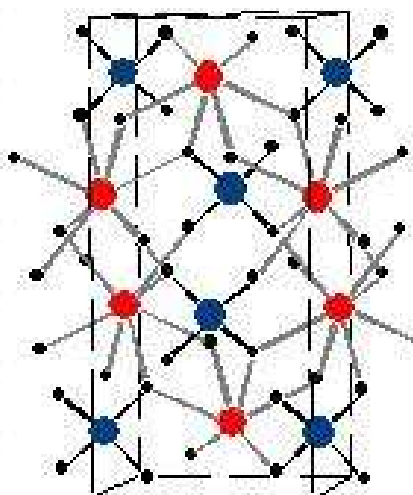
PbWO₄

scheelite ($I4_1/a$) – 1 bar
W-O coordination = 4

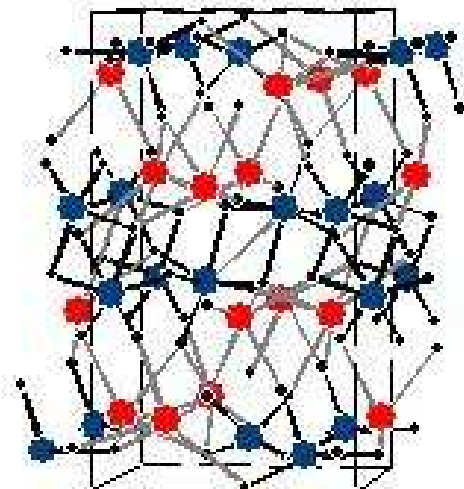


Phys. Rev. B 73, 224103 (2006)
Phys. Rev. B 72, 174106 (2005)

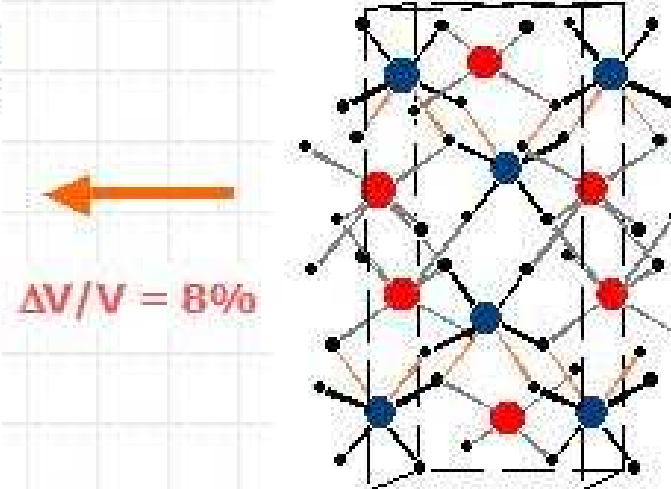
fergusonite ($I2/a$) – 7.9 GPa
W-O coordination = 4



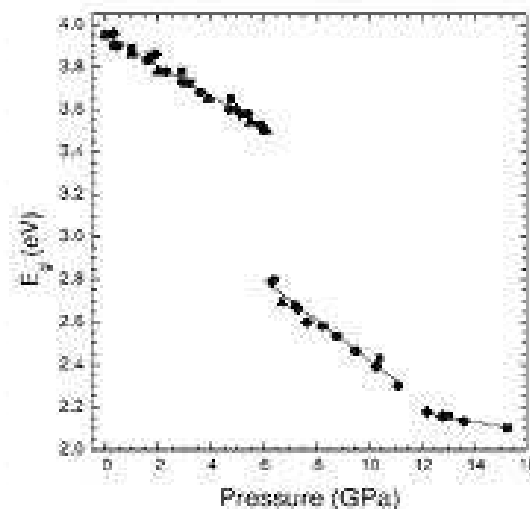
Medidas de absorción óptica
Efectos sobre las propiedades electrónicas



PbWO₄-III ($P2_1/n$) – 12 GPa
W-O coordination = 6



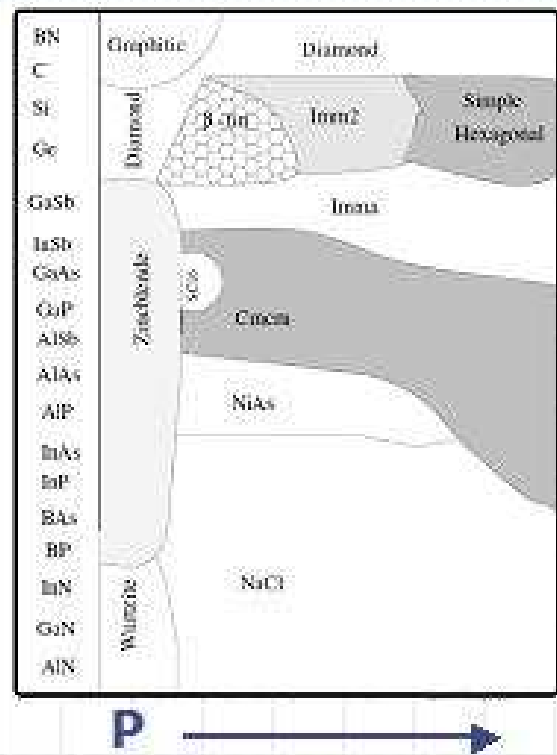
fergusonite ($I2/a$) – 9.5 GPa
W-O coordination = 4+2



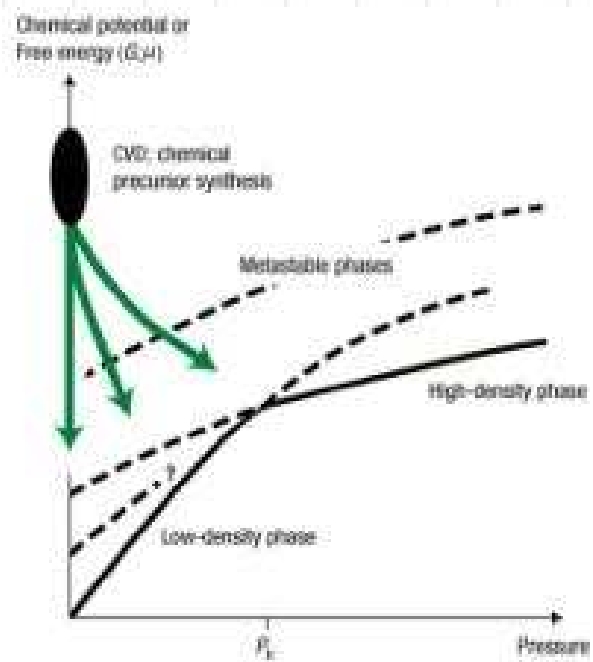
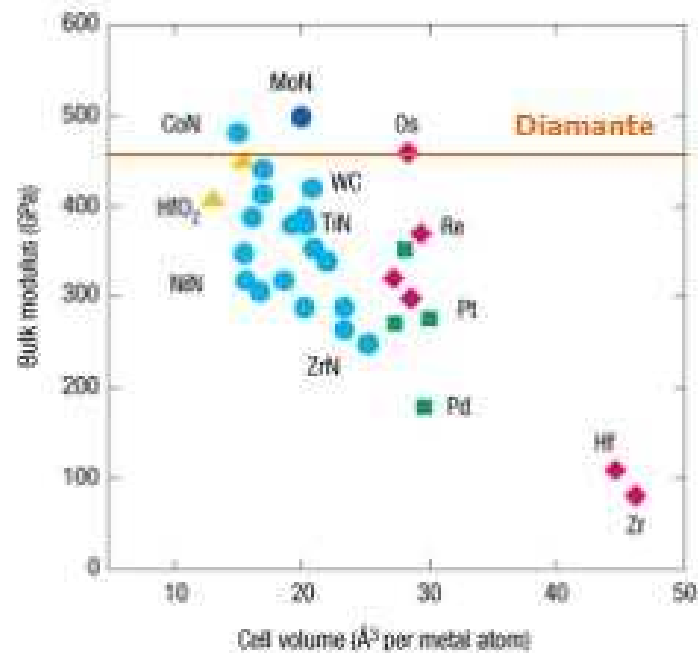
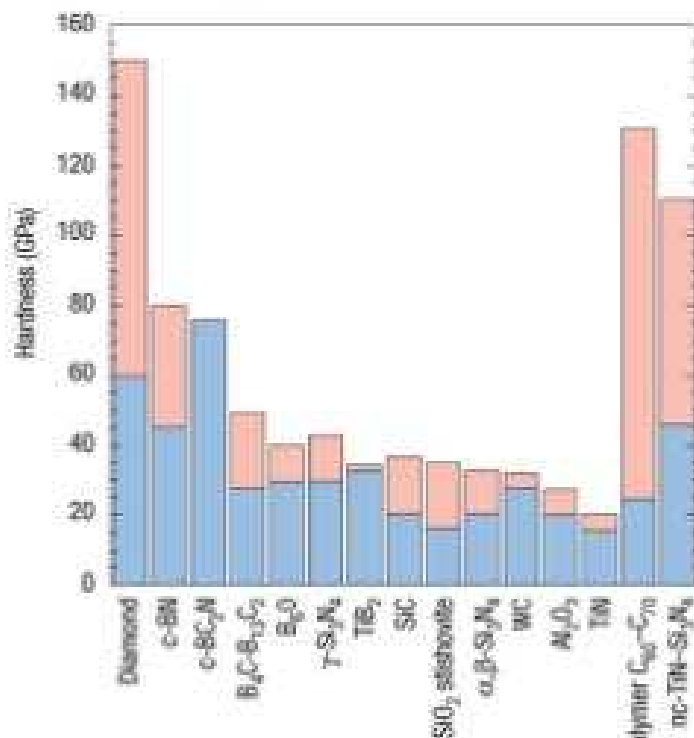
Appl. Phys. Letters 89, 091913 (2006)

Otras Aplicaciones

- **Semiconductores:** Caracterización de la estructura de bandas, dependencia de propiedades ópticas y electrónicas con la presión, transiciones de fase, propiedades ópticas, dieléctricas, vibracionales.
 ZnO , AlN , GaN , $GaAs$, ZnS , $CdTe$, $InSe$, $GaSe$.

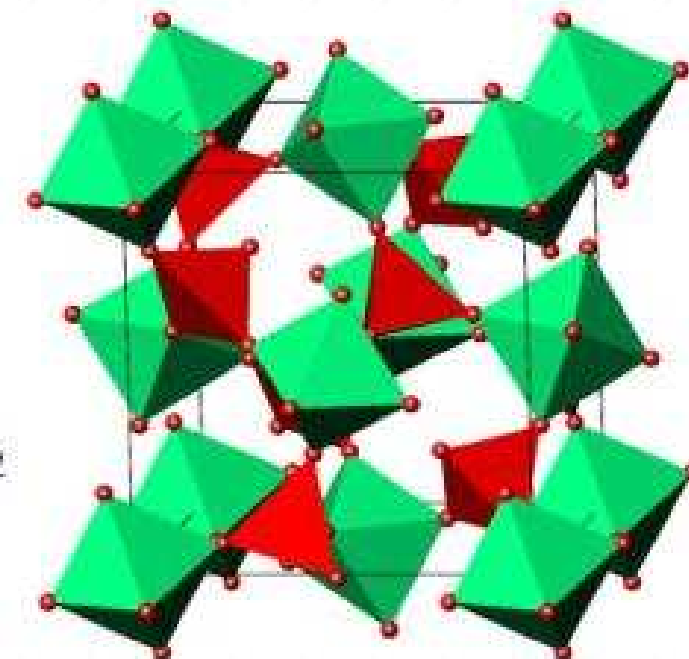
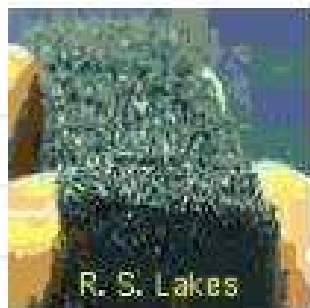


- **Materiales ultraduros**

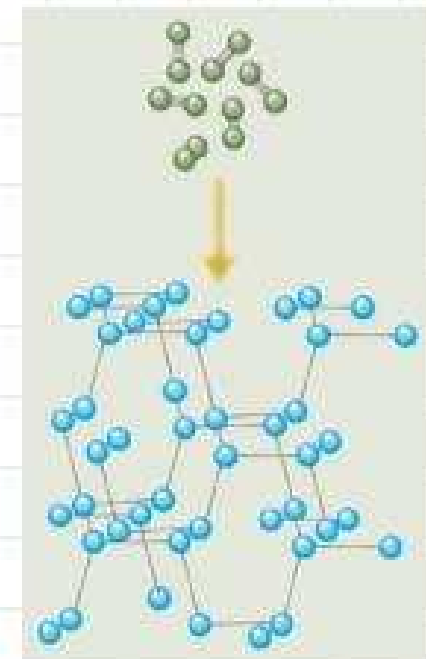
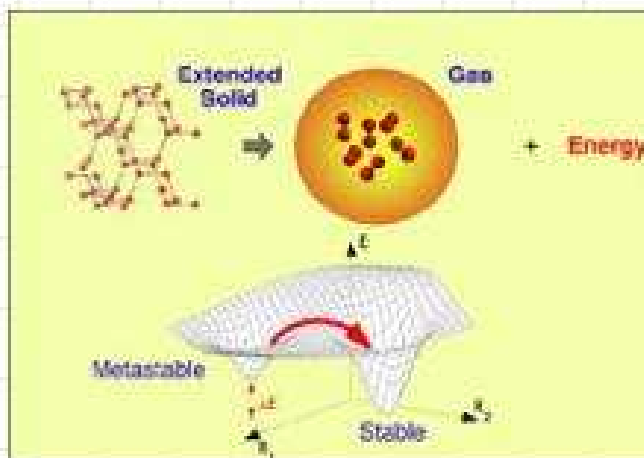


Otras Aplicaciones

- Materiales con compresibilidad y expansión térmica negativa. Materiales auxéticos, polímeros.

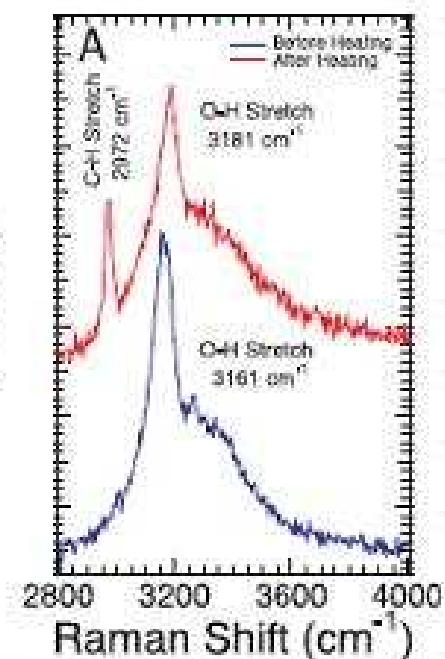
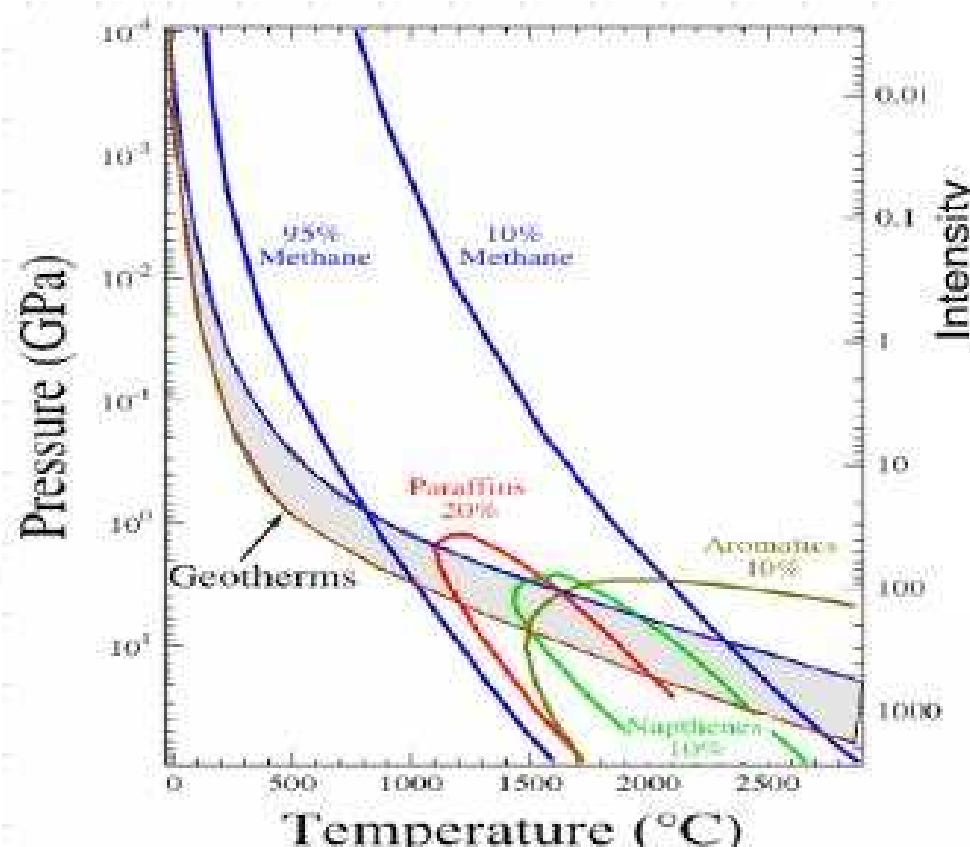
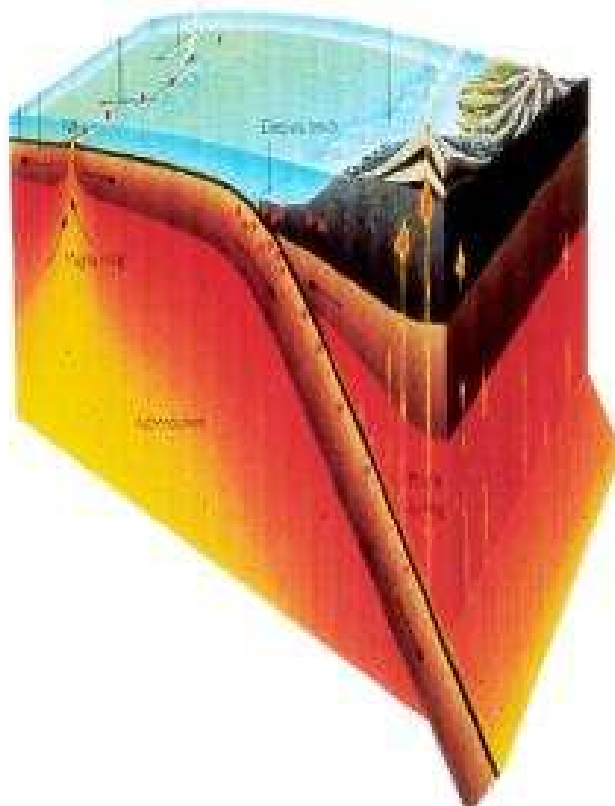


- Almacenamiento de Energía



Otras Aplicaciones

- Formación de hidrocarburos mediante la reducción de carbonatos bajo condiciones de P y T similares a las del manto terrestre superior.
Ejemplo: $\text{FeO} + \text{CaCO}_3$ -calcita + H_2O ; $P = 5 - 11 \text{ GPa}$, $T = 500 - 1.500^\circ\text{C}$
- Metano. Formas alternativas de generación de hidrocarburos → reservas mayores de las asumidas convencionalmente.

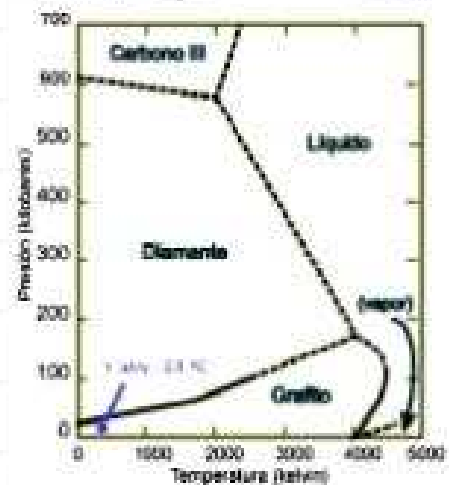


Otras Aplicaciones

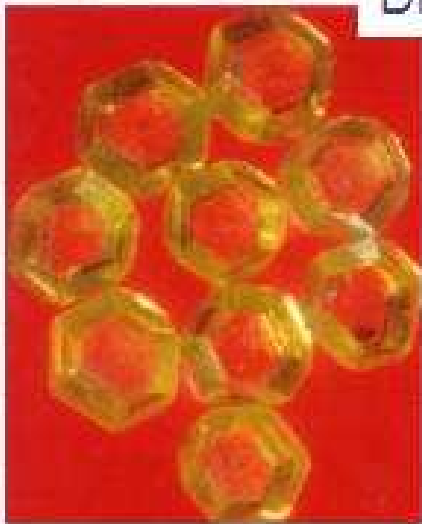
➤ Diamantes



Diamante: sp³
No conductores
Grafito: sp²
conductores



Diamante



Tratamiento
a altas P-T

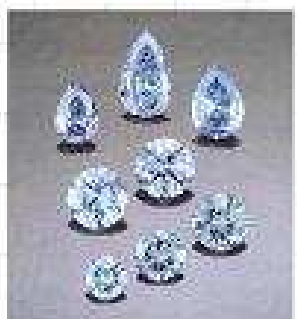


¿Planetas de diamantes?

Planetas ubicados
en el centro de la
galaxia donde las
estrellas tiene mas
carbono que el sol. Ejemplo: PSR 1257+12



Tratamiento
a altas P-T



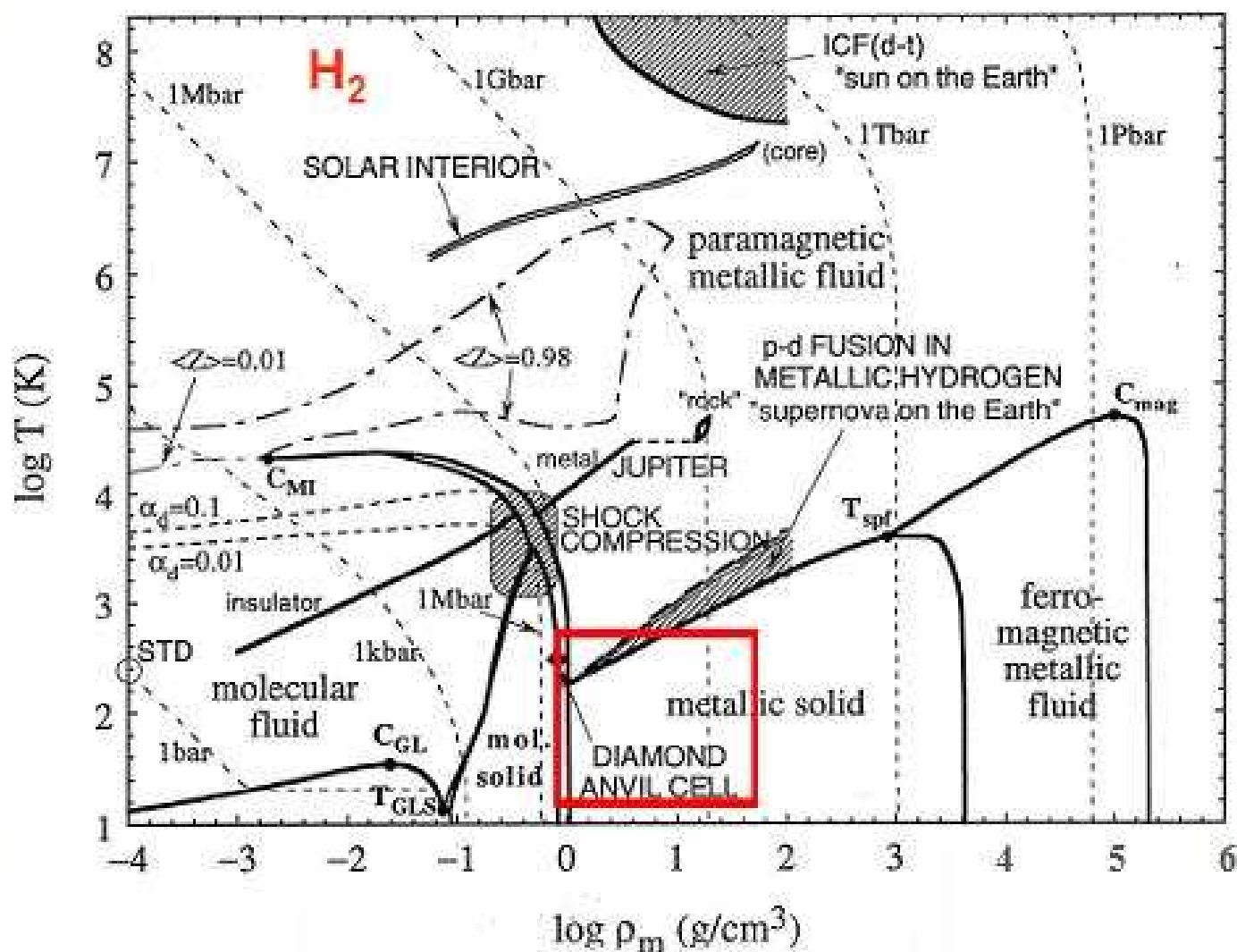
Grafito



Diamante fracturado a 130 GPa

Nuevos desafíos

Exploramos solamente una pequeña porción del espacio P-T

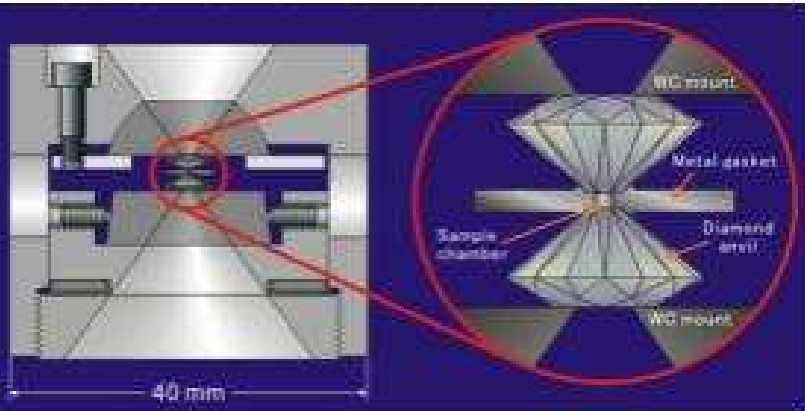


Necesitamos desarrollar aún más las técnicas experimentales y la teoría

Comentarios Finales

DAC → 5 Mbar & 6000 K

Múltiples técnicas de caracterización



Sincrotrones

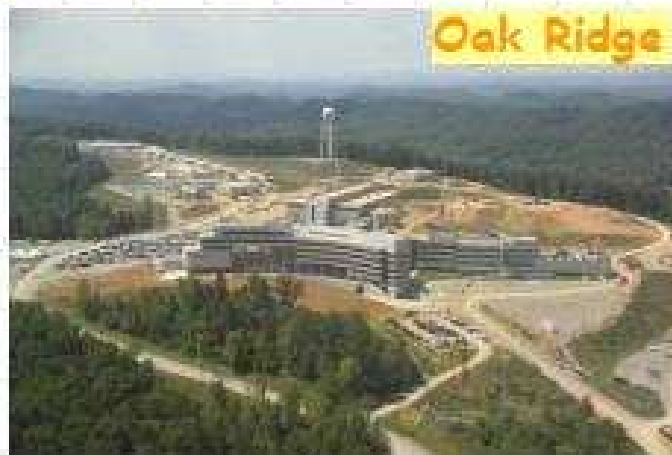


Nuevos Beamlines dedicados a altas presiones
(APS/ESRF/SPring8/Diamond/Soleil/ALBA)

Sincrotrones de 4ta generación (Energy Recovery Linacs)

Free electron lasers

Fuentes de Neutrones



Fuentes de espalación de neutrones

SNAP: beamline dedicado a altas presiones
- scattering de neutrones (1 Mbar)

Nuevas celdas de gran volumen

Hay todo un mundo que está esperando por ser descubierto

Altas Presiones en la Universidad de Valencia

Domingo Martínez García



Julio Pellicer Porres



Alfredo Segura



Chantal Ferrer Roca



Daniel Errandonea

